



Низкие динамические потери  
 Малый заряд обратного восстановления  
 Разветвленный управляющий электрод для  
 высоких скоростей нарастания тока

## Быстродействующий Импульсный Тиристор Тип ТБИ273-2000-20

Средний прямой ток	$I_{TAV}$	2000 А
Повторяющееся импульсное напряжение в закрытом состоянии	$U_{DRM}$	2000 В
Повторяющееся импульсное обратное напряжение	$U_{RRM}$	
Время выключения	$t_q$	32.0; 40.0; 50.0 мкс
$U_{DRM}, U_{RRM}, В$	2000	
Класс по напряжению	20	
$T_j, ^\circ C$	- 60 ÷ 125	

### ПРЕДЕЛЬНО ДОПУСТИМЫЕ ЗНАЧЕНИЯ ПАРАМЕТРОВ

Обозначение и наименование параметра		Ед. изм.	Значение	Условия измерения	
<b>Параметры в проводящем состоянии</b>					
$I_{TAV}$	Средний ток в открытом состоянии	А	2000 2980	$T_c=85\text{ }^\circ C$ ; двухстороннее охлаждение; $T_c=55\text{ }^\circ C$ ; двухстороннее охлаждение; 180 эл. град. синус; 50 Гц	
$I_{TRMS}$	Действующий ток в открытом состоянии	А	3140	$T_c=85\text{ }^\circ C$ ; двухстороннее охлаждение; 180 эл. град. синус; 50 Гц	
$I_{TSM}$	Ударный ток в открытом состоянии	кА	40.0 46.0	$T_j=T_{j\max}$ $T_j=25\text{ }^\circ C$	180 эл. град. синус; 50 Гц ( $t_p=10\text{ мс}$ ); единичный импульс; $U_D=U_R=0\text{ В}$ ; Импульс управления: $I_G=I_{FGM}$ ; $U_G=20\text{ В}$ ; $t_{GP}=50\text{ мкс}$ ; $di_G/dt=1\text{ А/мкс}$
			42.0 48.0	$T_j=T_{j\max}$ $T_j=25\text{ }^\circ C$	180 эл. град. синус; 60 Гц ( $t_p=8.3\text{ мс}$ ); единичный импульс; $U_D=U_R=0\text{ В}$ ; Импульс управления: $I_G=I_{FGM}$ ; $U_G=20\text{ В}$ ; $t_{GP}=50\text{ мкс}$ ; $di_G/dt=1\text{ А/мкс}$
$I^2t$	Защитный фактор	$A^2c\cdot 10^3$	8000 10580	$T_j=T_{j\max}$ $T_j=25\text{ }^\circ C$	180 эл. град. синус; 50 Гц ( $t_p=10\text{ мс}$ ); единичный импульс; $U_D=U_R=0\text{ В}$ ; Импульс управления: $I_G=I_{FGM}$ ; $U_G=20\text{ В}$ ; $t_{GP}=50\text{ мкс}$ ; $di_G/dt=1\text{ А/мкс}$
			7320 9560	$T_j=T_{j\max}$ $T_j=25\text{ }^\circ C$	180 эл. град. синус; 60 Гц ( $t_p=8.3\text{ мс}$ ); единичный импульс; $U_D=U_R=0\text{ В}$ ; Импульс управления: $I_G=I_{FGM}$ ; $U_G=20\text{ В}$ ; $t_{GP}=50\text{ мкс}$ ; $di_G/dt=1\text{ А/мкс}$

<b>Блокирующие параметры</b>				
$U_{DRM}, U_{RRM}$	Повторяющееся импульсное обратное напряжение и повторяющееся импульсное напряжение в закрытом состоянии	В	2000	$T_j \min < T_j < T_j \max$ ; 180 эл. град. синус; 50 Гц; управление разомкнуто
$U_{DSM}, U_{RSM}$	Неповторяющееся импульсное обратное напряжение и неповторяющееся импульсное напряжение в закрытом состоянии	В	2100	$T_j \min < T_j < T_j \max$ ; 180 эл. град. синус; 50 Гц; единичный импульс; управление разомкнуто
$U_D, U_R$	Постоянное обратное и постоянное прямое напряжение	В	$0.75 \cdot U_{DRM}$ $0.75 \cdot U_{RRM}$	$T_j = T_j \max$ ; управление разомкнуто
<b>Параметры управления</b>				
$I_{FGM}$	Максимальный прямой ток управления	А	10	$T_j = T_j \max$
$U_{RGM}$	Максимальное обратное напряжение управления	В	5	
$P_G$	Максимальная рассеиваемая мощность по управлению	Вт	8	$T_j = T_j \max$ для постоянного тока управления
<b>Параметры переключения</b>				
$(di_T/dt)_{crit}$	Критическая скорость нарастания тока в открытом состоянии ( $f=1$ Hz)	А/мкс	2500	$T_j = T_j \max$ ; $U_D = 0.67 \cdot U_{DRM}$ ; $I_{TM} = 2 I_{TAV}$ ; Импульс управления: $I_G = I_{FGM}$ ; $U_G = 20$ В; $t_{GP} = 50$ мкс; $di_G/dt = 1$ А/мкс
<b>Тепловые параметры</b>				
$T_{stg}$	Температура хранения	°C	- 60 ÷ 125	
$T_j$	Температура р-п перехода	°C	- 60 ÷ 125	
<b>Механические параметры</b>				
F	Монтажное усилие	кН	40.0 ÷ 50.0	
a	Ускорение	м/с <sup>2</sup>	50 100	В не зажатом состоянии В зажатом состоянии

## ХАРАКТЕРИСТИКИ

Обозначение и наименование характеристики	Ед. изм.	Значение	Условия измерения	
<b>Характеристики в проводящем состоянии</b>				
$U_{TM}$	Импульсное напряжение в открытом состоянии, макс	В	2.20	$T_j = 25$ °C; $I_{TM} = 6280$ А
$U_{T(TO)}$	Пороговое напряжение, макс	В	1.25	$T_j = T_j \max$ ; $0.5 \pi I_{TAV} < I_T < 1.5 \pi I_{TAV}$
$r_T$	Динамическое сопротивление в открытом состоянии, макс	МОм	0.150	
$I_H$	Ток удержания, макс	мА	1000	$T_j = 25$ °C; $U_D = 12$ В; управление разомкнуто
<b>Блокирующие характеристики</b>				
$I_{DRM}, I_{RRM}$	Повторяющийся импульсный обратный ток и повторяющийся импульсный ток в закрытом состоянии, макс	мА	300	$T_j = T_j \max$ ; $U_D = U_{DRM}$ ; $U_R = U_{RRM}$
$(dv_D/dt)_{crit}$	Критическая скорость нарастания напряжения в закрытом состоянии <sup>1)</sup> , мин	В/мкс	1000	$T_j = T_j \max$ ; $U_D = 0.67 \cdot U_{DRM}$ ; управление разомкнуто

Характеристики управления					
$U_{GT}$	Отпирающее постоянное напряжение управления, макс	В	5.00 3.00 2.00	$T_j = T_{j \min}$ $T_j = 25 \text{ }^\circ\text{C}$ $T_j = T_{j \max}$	$U_D = 12 \text{ В}; I_D = 3 \text{ А};$ Постоянный ток управления
$I_{GT}$	Отпирающий постоянный ток управления, макс	мА	500 300 200	$T_j = T_{j \min}$ $T_j = 25 \text{ }^\circ\text{C}$ $T_j = T_{j \max}$	
$U_{GD}$	Неотпирающее постоянное напряжение управления, мин	В	0.35	$T_j = T_{j \max};$ $U_D = 0.67 \cdot U_{DRM};$	Постоянный ток управления
$I_{GD}$	Неотпирающий постоянный ток управления, мин	мА	15.00		

### Динамические характеристики

$t_{gd}$	Время задержки включения	мкс	2.5	$T_j = 25 \text{ }^\circ\text{C}; V_D = 0.4 \cdot V_{DRM}; I_{TM} = I_{TAV};$ Gate pulse: $I_G = I_{FGM}; V_G = 20 \text{ В};$ $t_{GP} = 50 \text{ } \mu\text{s}; di_G/dt = 1 \text{ А}/\mu\text{s}$	
$t_q$	Время выключения <sup>2)</sup> , макс	мкс	32.0; 40.0; 50.0	$dv_D/dt = 50 \text{ В}/\text{мкс};$	$T_j = T_{j \max}; I_{TM} = I_{TAV};$ $di_R/dt = -10 \text{ А}/\text{мкс};$ $U_R = 100 \text{ В};$ $U_D = 0.67 U_{DRM}$
			40.0; 50.0; 63.0	$dv_D/dt = 200 \text{ В}/\text{мкс};$	
$Q_{rr}$	Заряд обратного восстановления, макс	мкКл	800	$T_j = T_{j \max}; I_{TM} = I_{TAV};$ $di_R/dt = -50 \text{ А}/\text{мкс};$ $U_R = 100 \text{ В}$	
$t_{rr}$	Время обратного восстановления, макс	мкс	8.0		
$I_{rrM}$	Ток обратного восстановления, макс	А	200		

### Тепловые характеристики

$R_{thjc}$	Тепловое сопротивление р-п переход-корпус, макс	$^\circ\text{C}/\text{Вт}$	0.0100	Постоянный ток	Двухстороннее охлаждение
$R_{thjc-A}$			0.0220		Охлаждение со стороны анода
$R_{thjc-K}$			0.0180		Охлаждение со стороны катода
$R_{thck}$	Тепловое сопротивление корпус-охладитель, макс	$^\circ\text{C}/\text{Вт}$	0.0020	Постоянный ток	

### Механические характеристики

w	Масса, тип	г	1600	
$D_s$	Длина пути тока утечки по поверхности	мм (дюйм)	55.13 (2.170)	
$D_a$	Длина пути тока утечки по воздуху	мм (дюйм)	25.10 (0.988)	

### ПРИМЕЧАНИЕ

<sup>1)</sup> Критическая скорость нарастания напряжения в закрытом состоянии

Обозначение группы	A2
$(dv_D/dt)_{crit}, \text{ В}/\text{мкс}$	1000

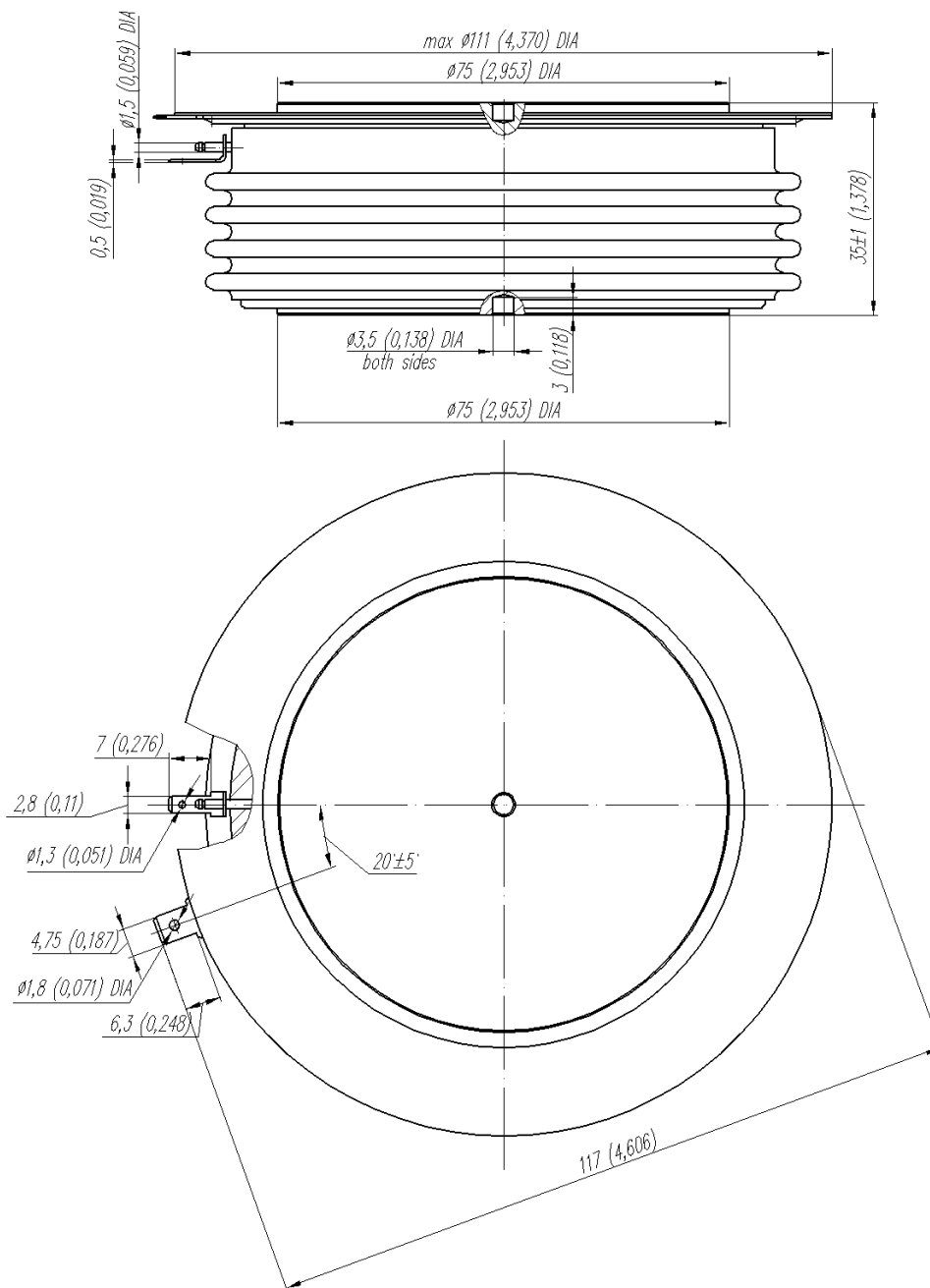
<sup>2)</sup> Время выключения ( $dv_D/dt = 50 \text{ В}/\text{мкс}$ )

Обозначение группы	K3	H3	E3
$t_q, \text{ мкс}$	32.0	40.0	50.0

### МАРКИРОВКА

ТБИ	273	2000	20	A2	K3	УХЛ2	
	1	2	3	4	5	6	7

1. Быстродействующий импульсный тиристор
2. Конструктивное исполнение
3. Средний ток в открытом состоянии, А
4. Класс по напряжению
5. Критическая скорость нарастания напряжения в закрытом состоянии
6. Группа по времени выключения ( $dv_D/dt = 50 \text{ В}/\text{мкс}$ )
7. Климатическое исполнение по ГОСТ 15150: УХЛ2, Т



Все размеры в миллиметрах (дюймах)

## Вольт-амперная характеристика в открытом состоянии (см Рис. 1).

Аналитическая функция вольт — амперной характеристики в открытом состоянии:

$$V_T = A + B \cdot i_T + C \cdot \ln(i_T + 1) + D \cdot \sqrt{i_T}$$

	Коэффициенты для графика	
	$T_j = 25^\circ\text{C}$	$T_j = T_{j\text{max}}$
<b>A</b>	1.788812	1.248548
<b>B</b>	-0.016868	0.039938
<b>C</b>	-0.195242	-0.260759
<b>D</b>	0.315828	0.421811

## Переходное тепловое сопротивление (см. Рис. 2).

Аналитическая зависимость переходного теплового сопротивления переход — корпус:

$$Z_{thjc} = \sum_{i=1}^n R_i \left( 1 - e^{-\frac{t}{\tau_i}} \right)$$

Где  $i = 1$  to  $n$ ,  $n$  – число суммирующихся элементов.

$t$  = продолжительность импульсного нагрева в секундах.

$Z_{thjc}$  = Тепловое сопротивление за время  $t$ .

$R_i, \tau_i$  = расчетные коэффициенты, приведенные в таблице.

Постоянный ток, двустороннее охлаждение

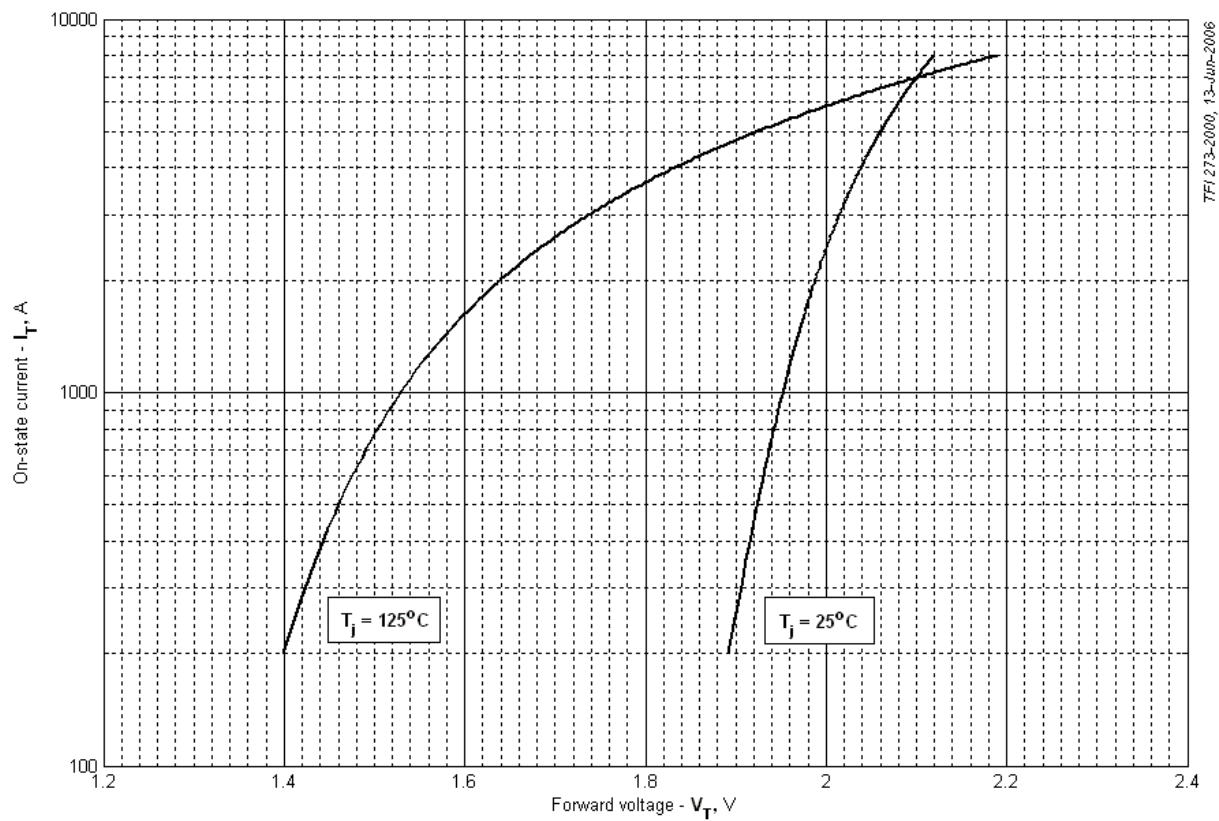
<b>i</b>	<b>1</b>	<b>2</b>	<b>3</b>	<b>4</b>	<b>5</b>	<b>6</b>
<b>R<sub>i</sub>, K/W</b>	0.001774	0.003777	0.0001611	0.0006796	0.0002974	0.00331
<b>τ<sub>i</sub>, s</b>	2.276	0.07599	0.003417	0.1692	0.0005483	1.377

Постоянный ток, охлаждение со стороны анода

<b>i</b>	<b>1</b>	<b>2</b>	<b>3</b>	<b>4</b>	<b>5</b>	<b>6</b>
<b>R<sub>i</sub>, K/W</b>	0.01236	0.004656	0.0005901	0.004178	0.0001632	0.0003062
<b>τ<sub>i</sub>, s</b>	13.340	2.011	0.4635	0.08072	0.00394	0.0005608

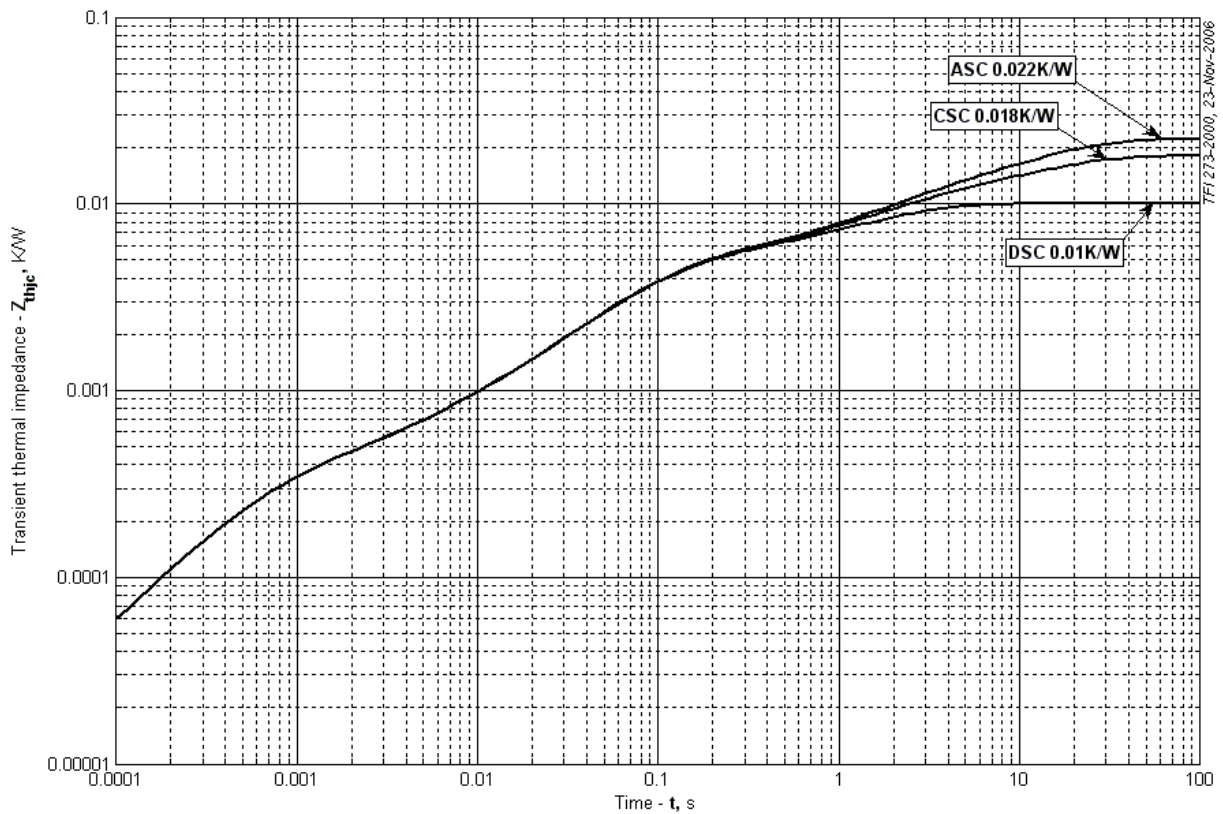
Постоянный ток, охлаждение со стороны катода

<b>i</b>	<b>1</b>	<b>2</b>	<b>3</b>	<b>4</b>	<b>5</b>	<b>6</b>
<b>R<sub>i</sub>, K/W</b>	0.008157	0.004601	0.0006385	0.004186	0.0001632	0.0003067
<b>τ<sub>i</sub>, s</b>	13.30	1.922	0.4875	0.08063	0.003967	0.0005616



TFI273-2000, 13-Jun-2006

**Рис. 1 – Вольт - амперная характеристика в открытом состоянии**



TFI273-2000, 23-Nov-2006

**Рис. 2 – Переходное тепловое сопротивление**

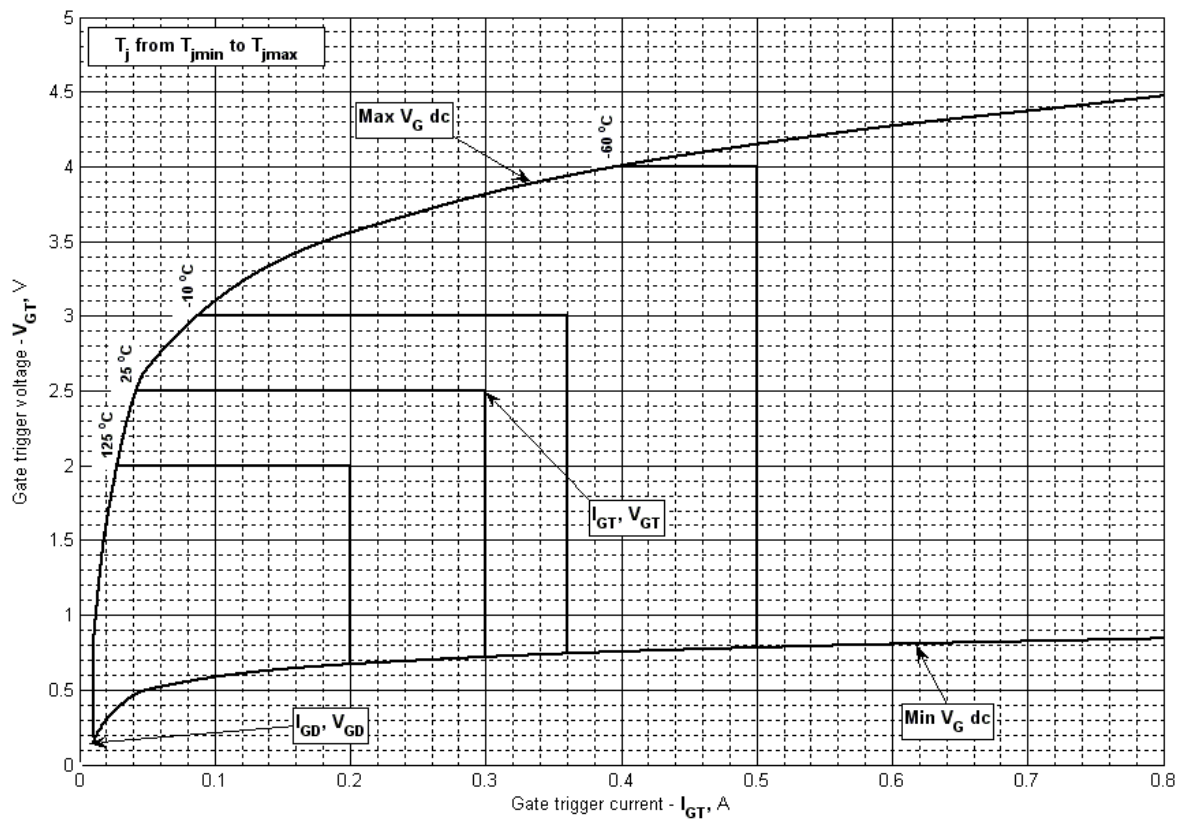


Рис. 3 - Вольт - амперная характеристика цепи управления

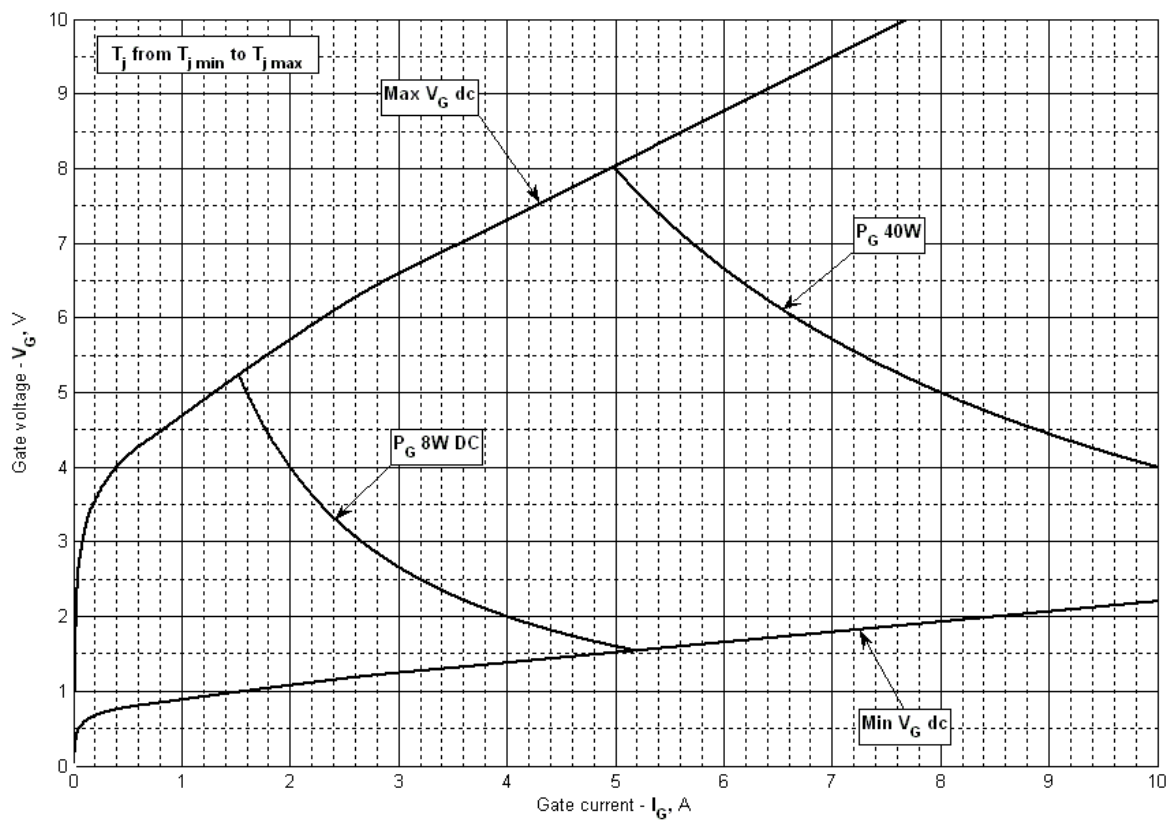


Рис. 4 - Вольт - амперная характеристика цепи управления — Кривые мощности

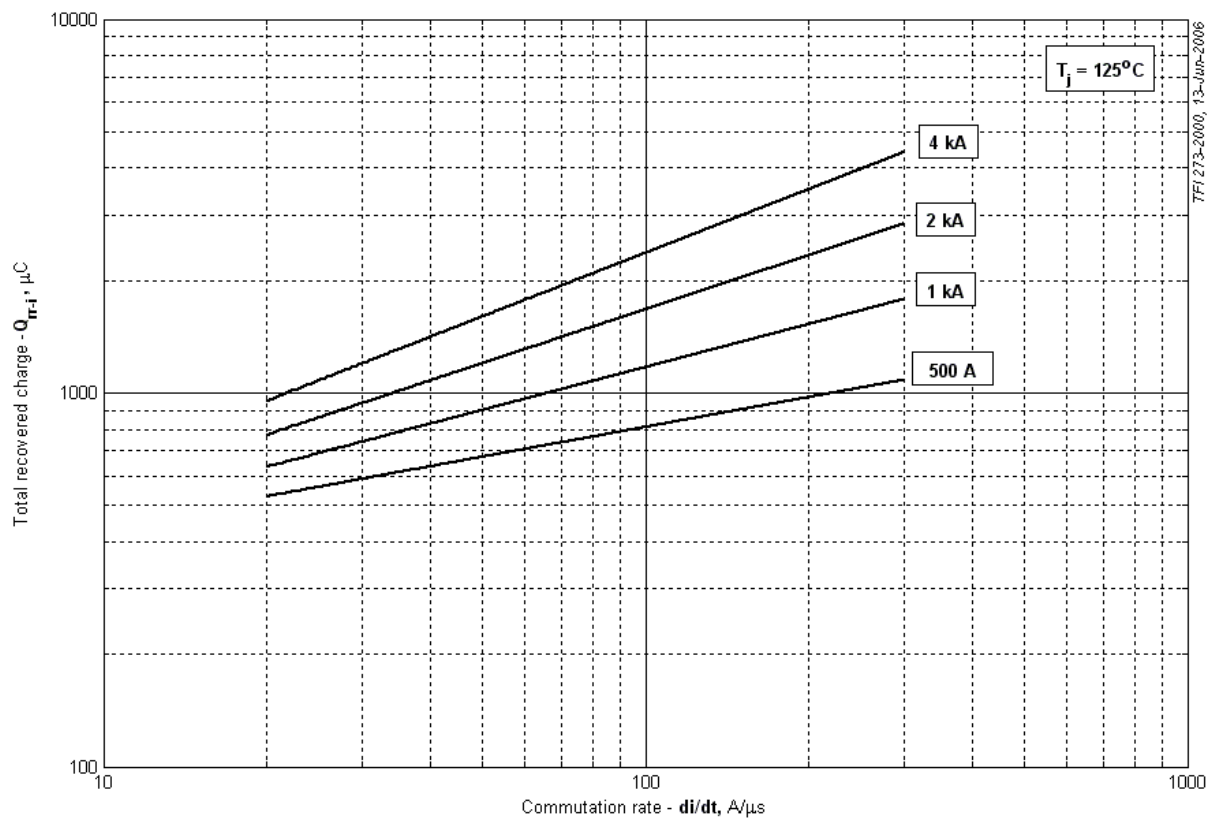


Рис. 5 – Заряд обратного восстановления,  $Q_{гр}$  (интегральный)

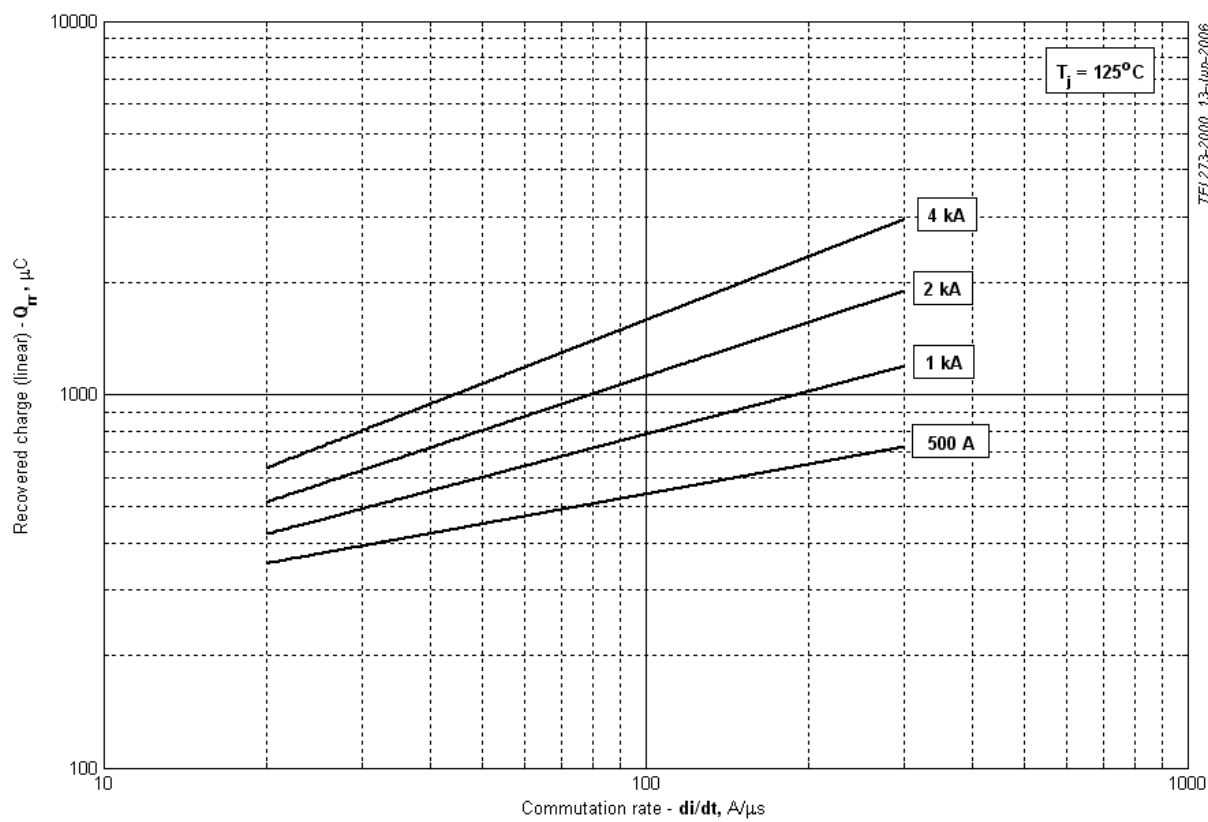
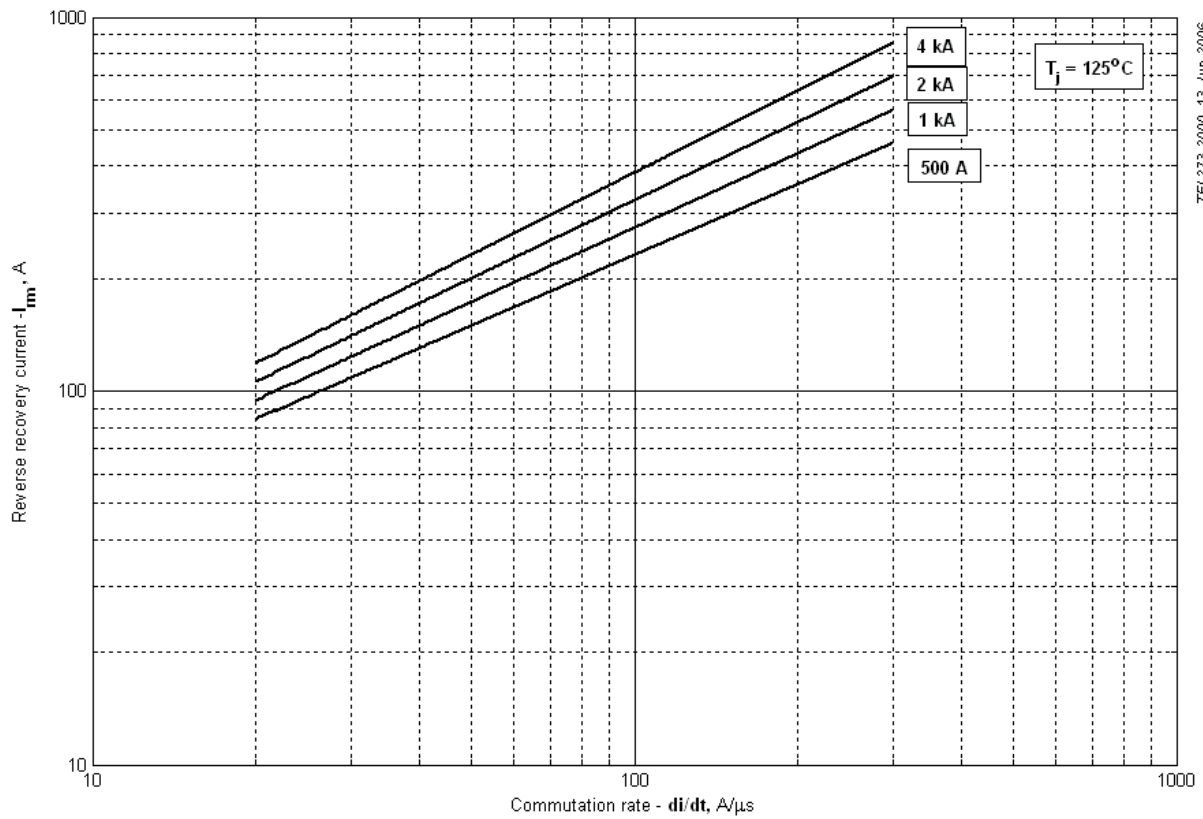
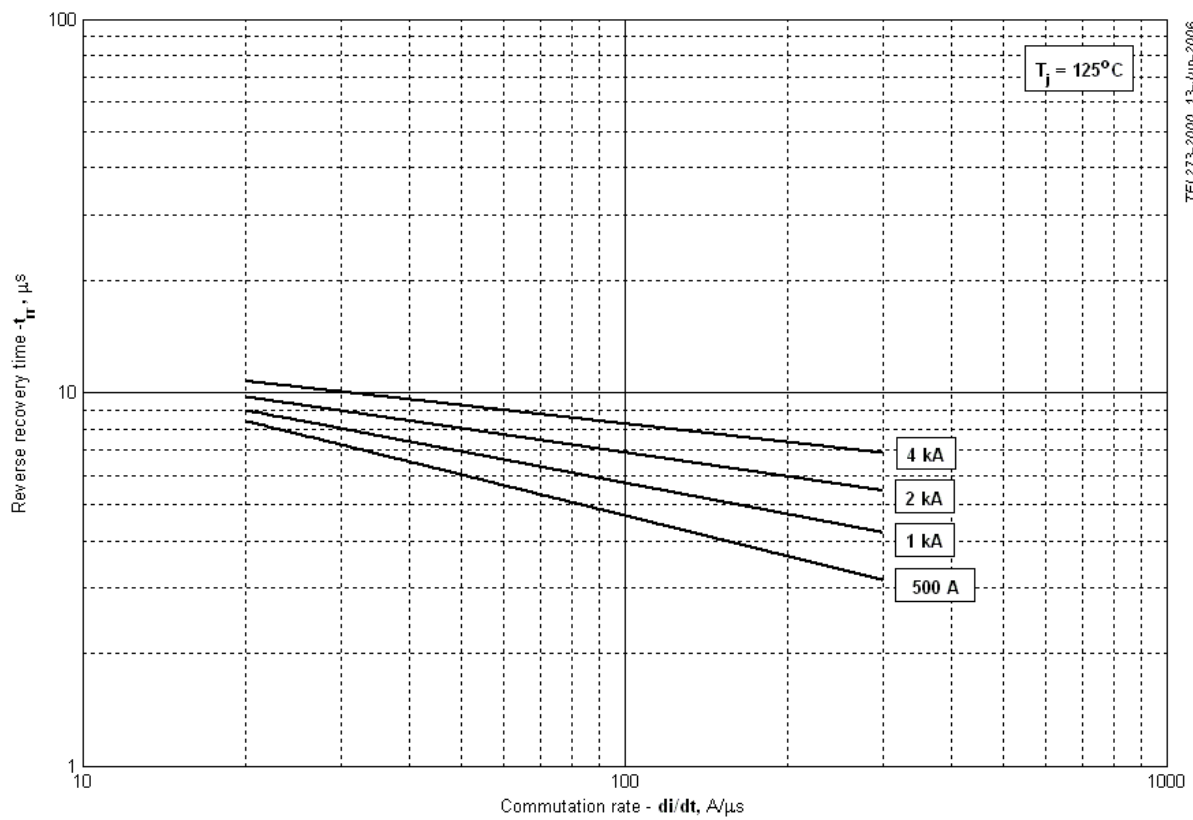


Рис. 6 – Заряд обратного восстановления,  $Q_{гр}$  (линеризованный)



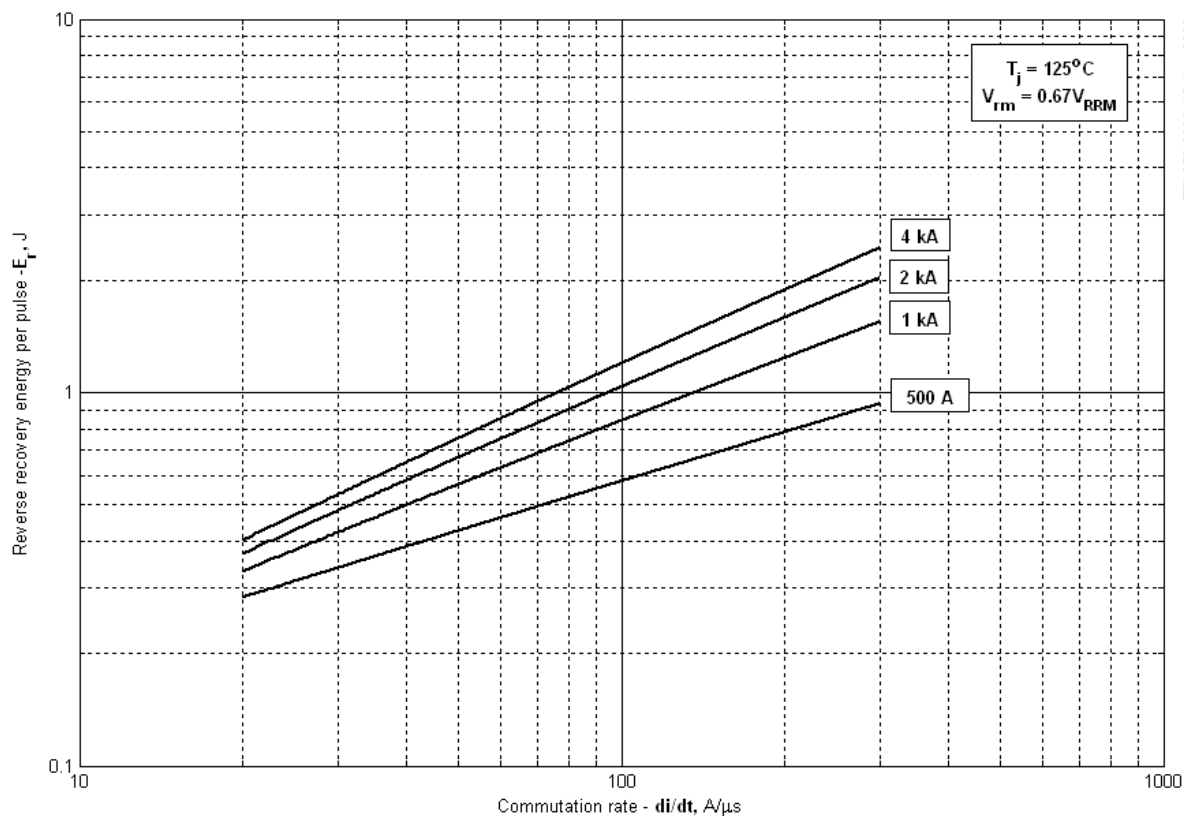
TFI 273-2000, 13-Jun-2006

Рис. 7 – Максимальный обратный ток восстановления,  $I_{rm}$



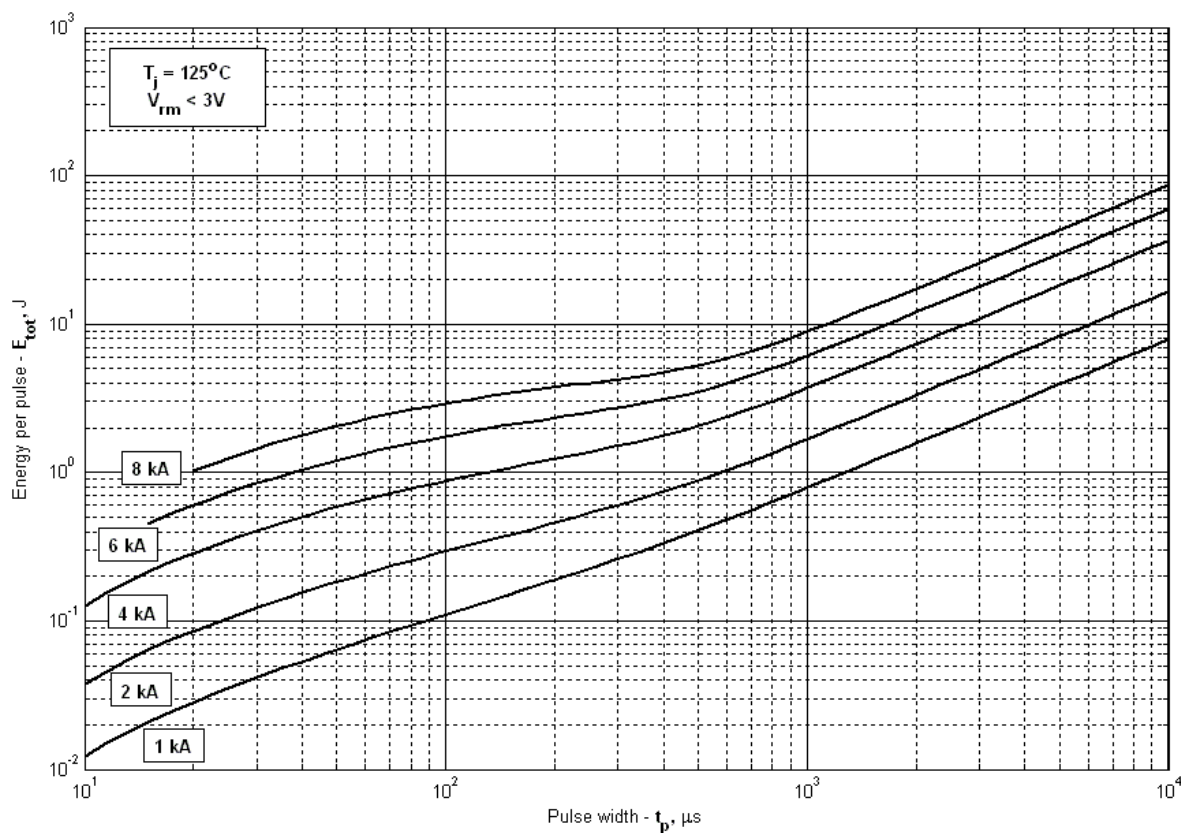
TFI 273-2000, 13-Jun-2006

Рис. 8 – Максимальное время обратного восстановления,  $t_{rr}$  (линеризованный)



TFI 273-2000, 13-Jun-2006

Рис. 9 – Энергия обратного восстановления за импульс



TFI 273-2000, 13-Jun-2006

Рис. 10 – Суммарная энергия потерь одного синусоидального импульса тока

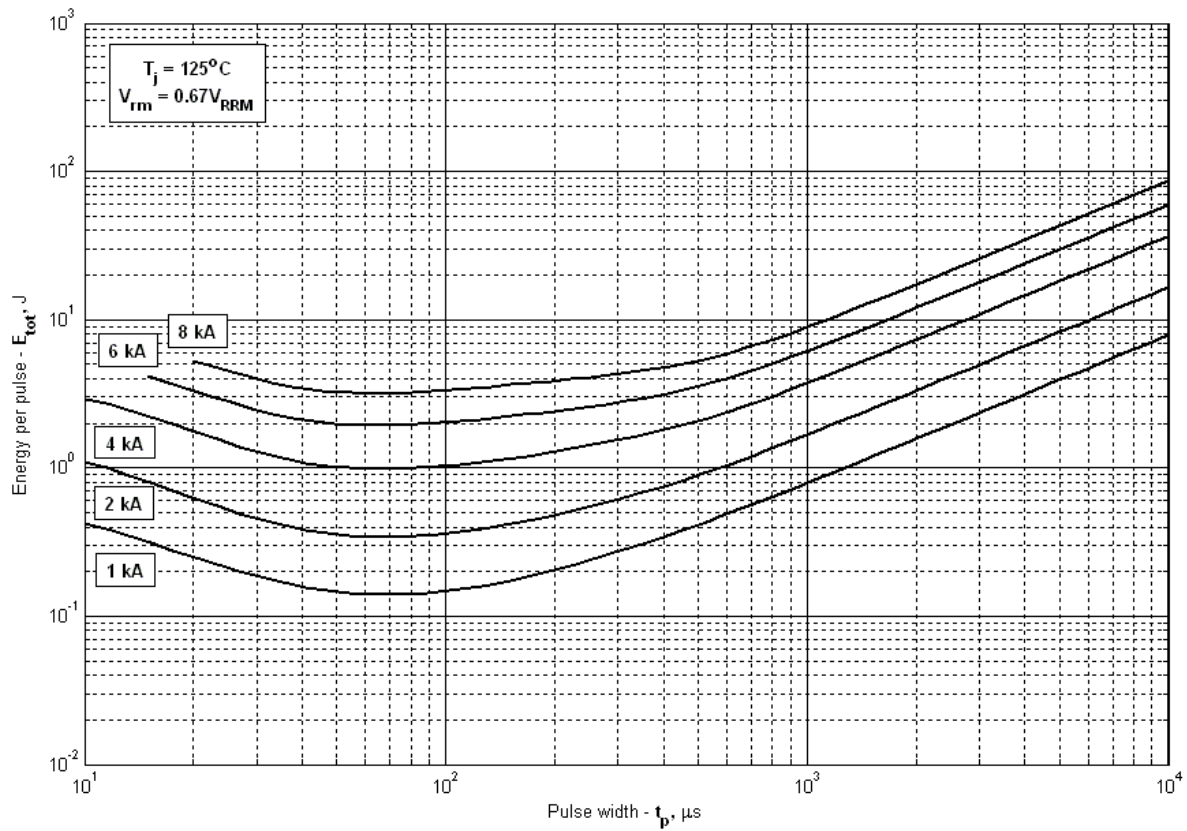


Рис. 11 – Суммарная энергия потерь одного синусоидального импульса тока

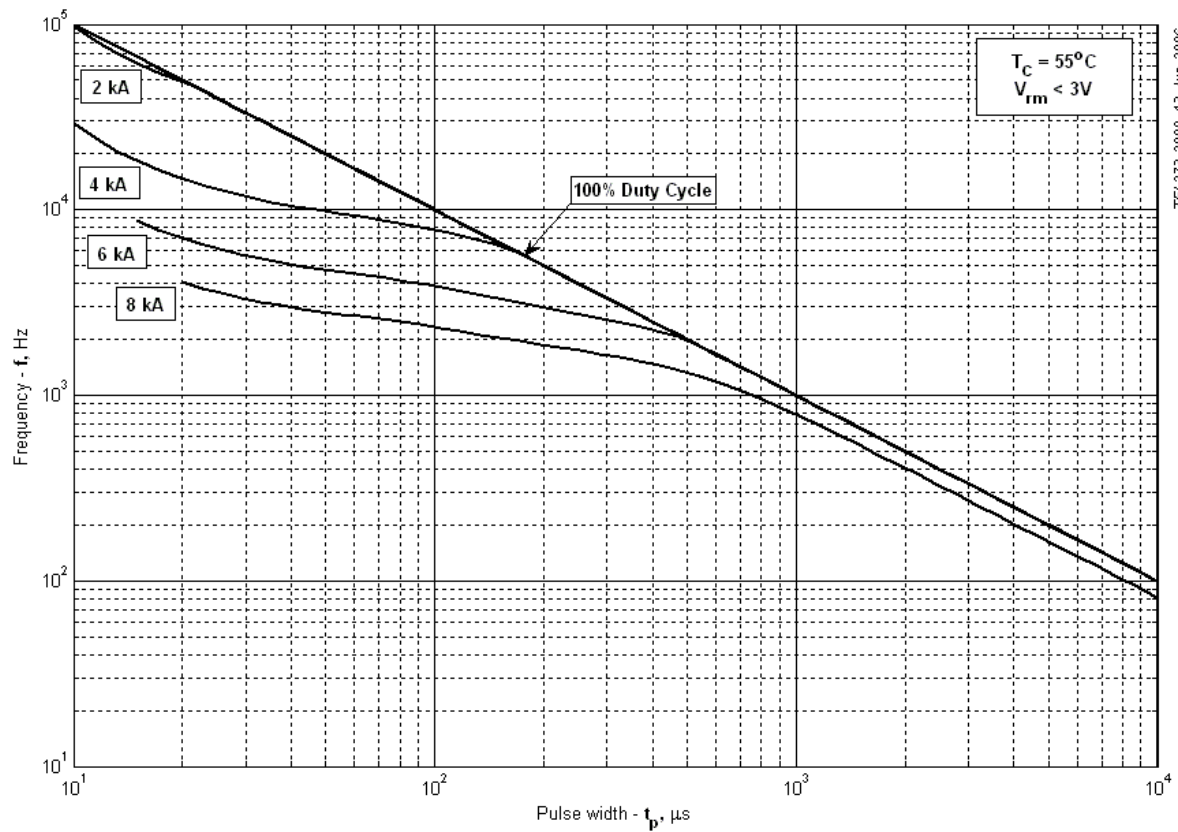


Рис. 12 – Зависимость частоты синусоидальных импульсов тока от длительности импульсов

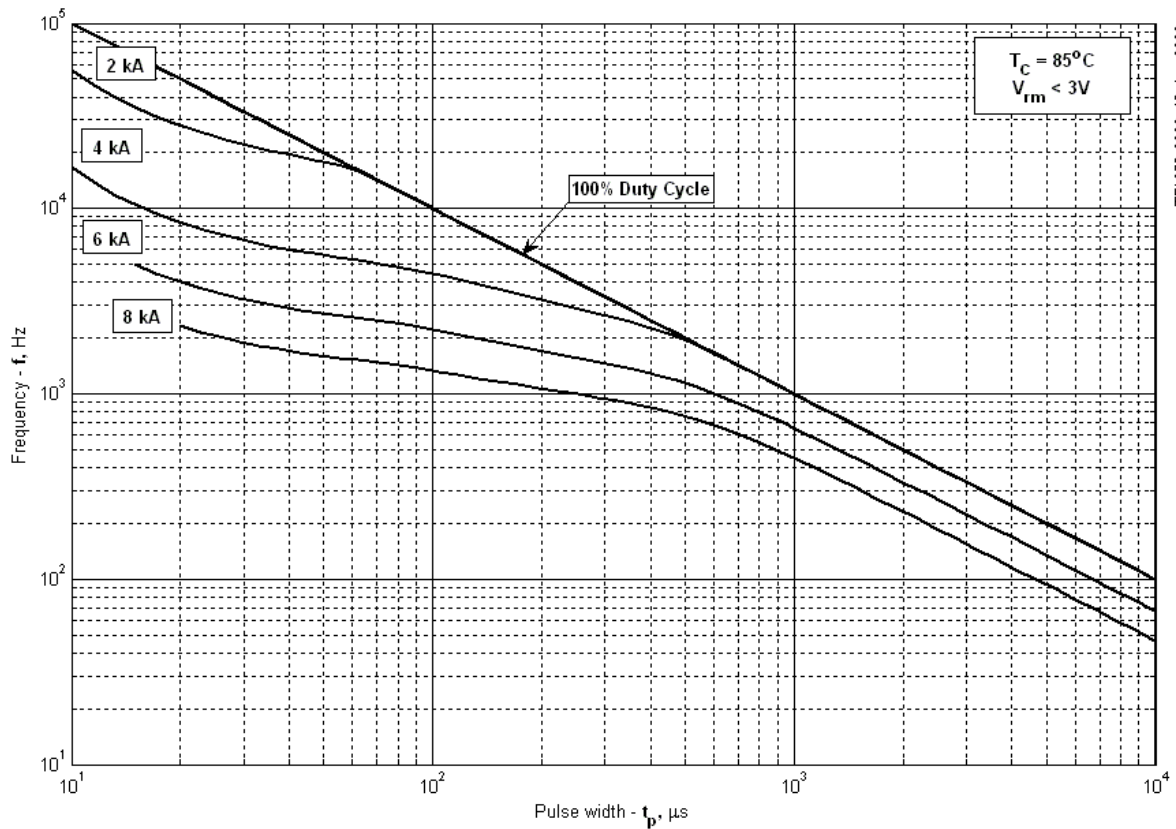


Рис. 13 – Зависимость частоты синусоидальных импульсов тока от длительности импульсов

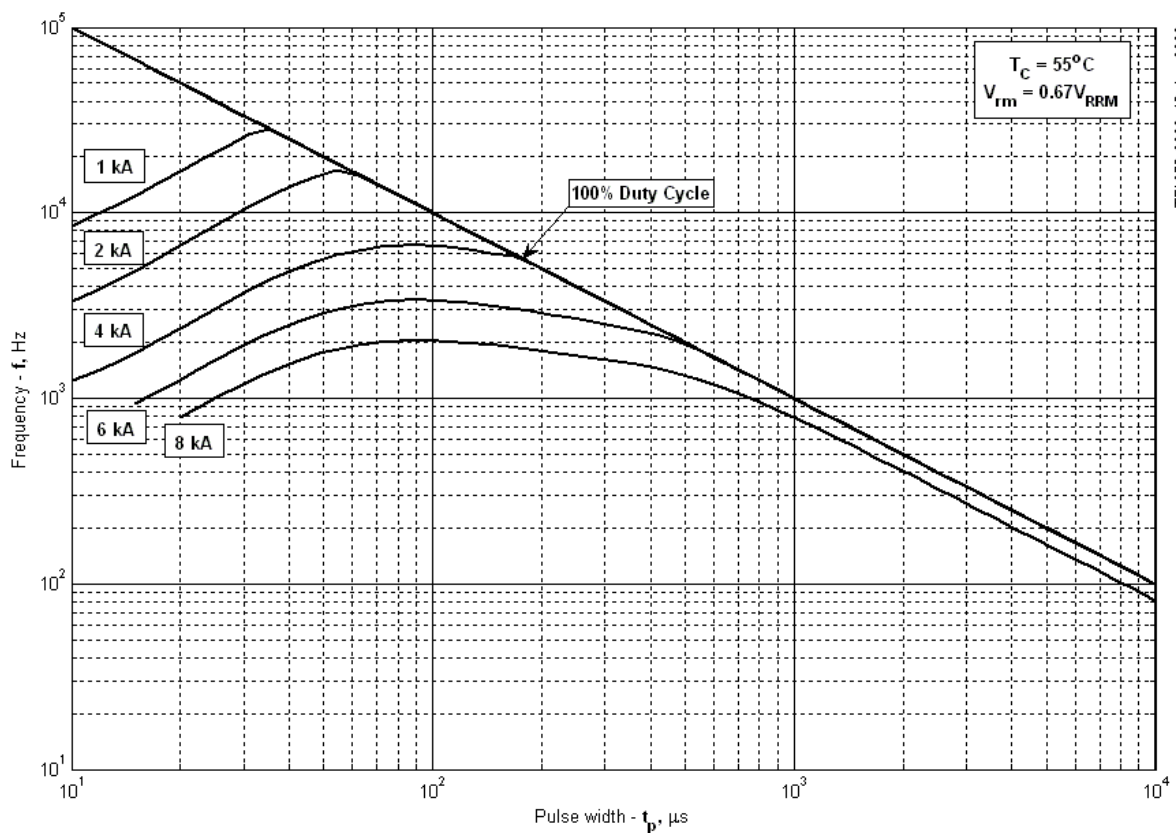
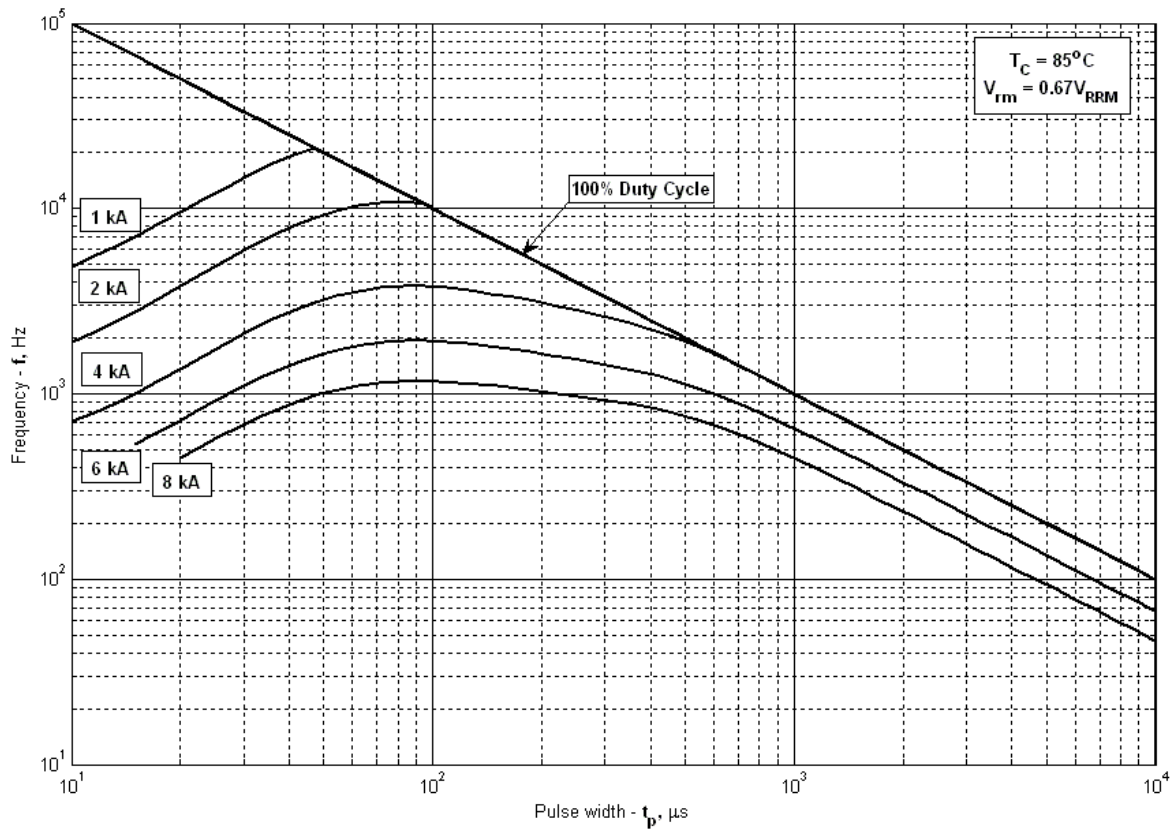
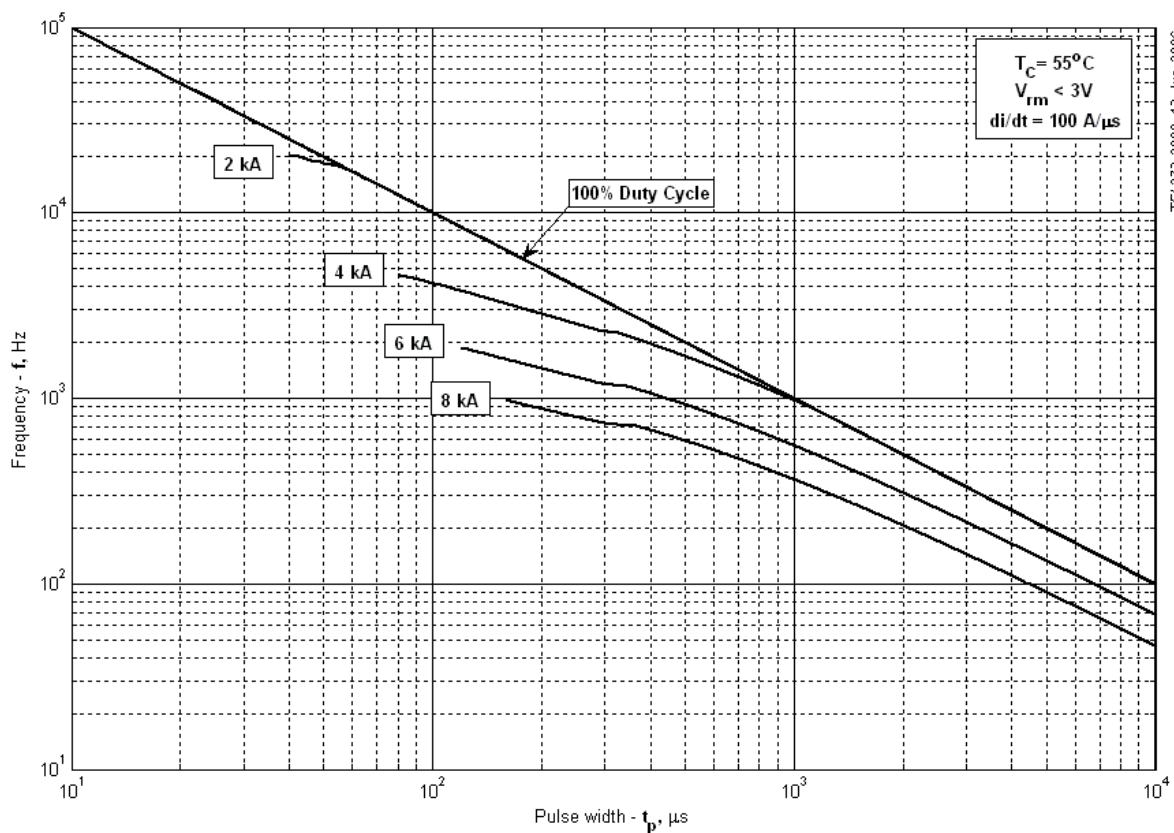


Рис. 14 – Зависимость частоты синусоидальных импульсов тока от длительности импульсов



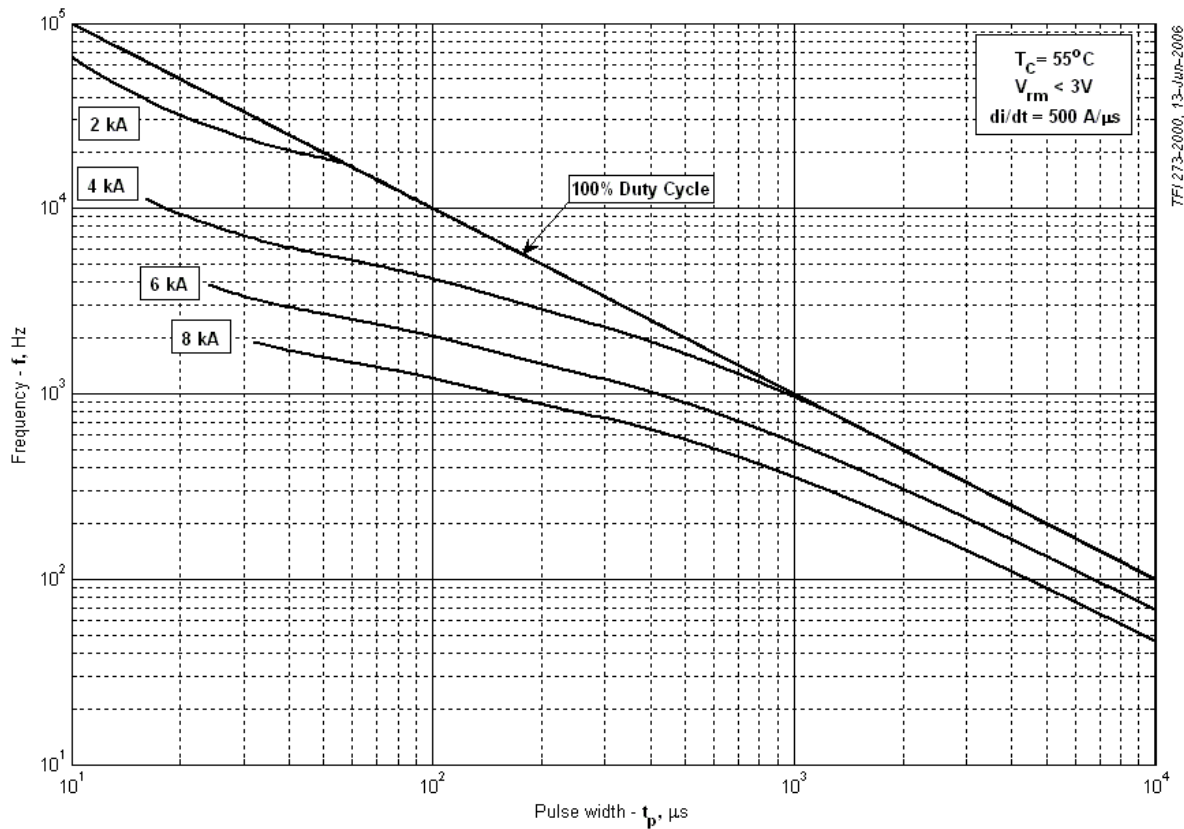
TFI 273-2000, 13-Jun-2006

Рис. 15 – Зависимость частоты синусоидальных импульсов тока от длительности импульсов

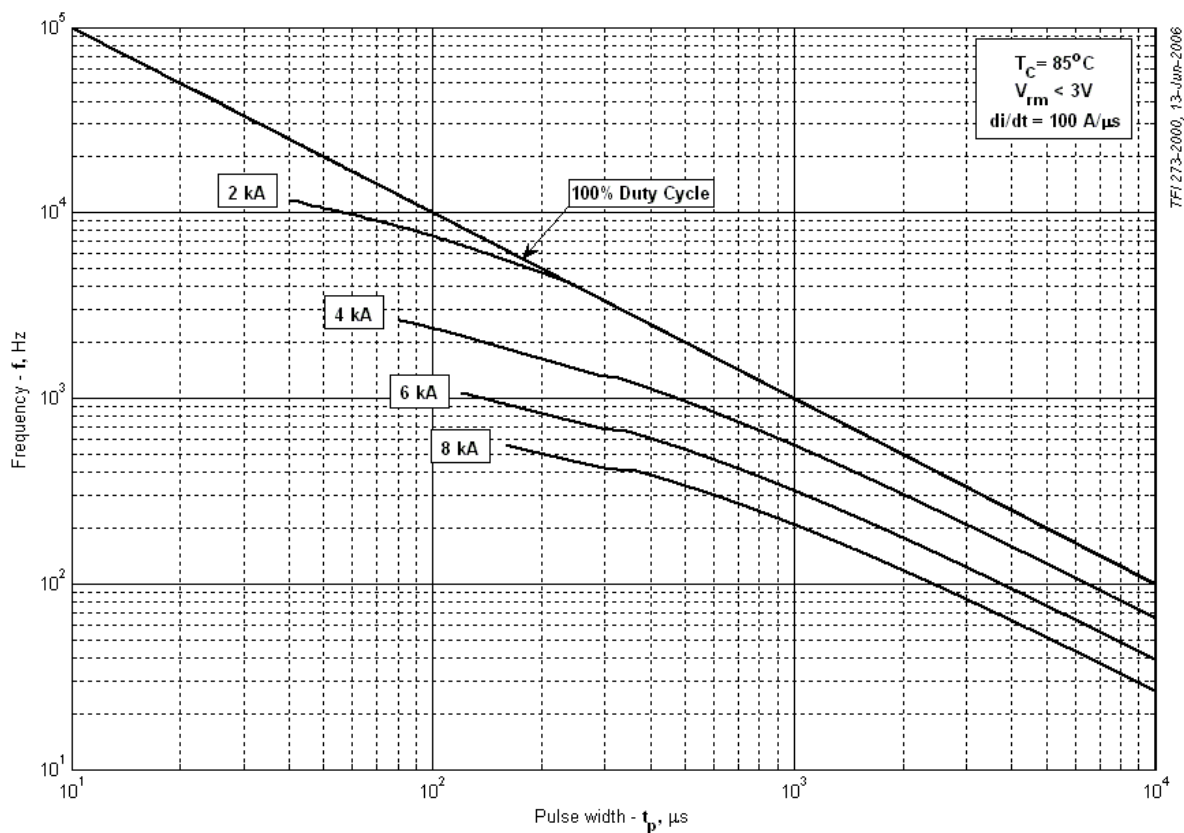


TFI 273-2000, 13-Jun-2006

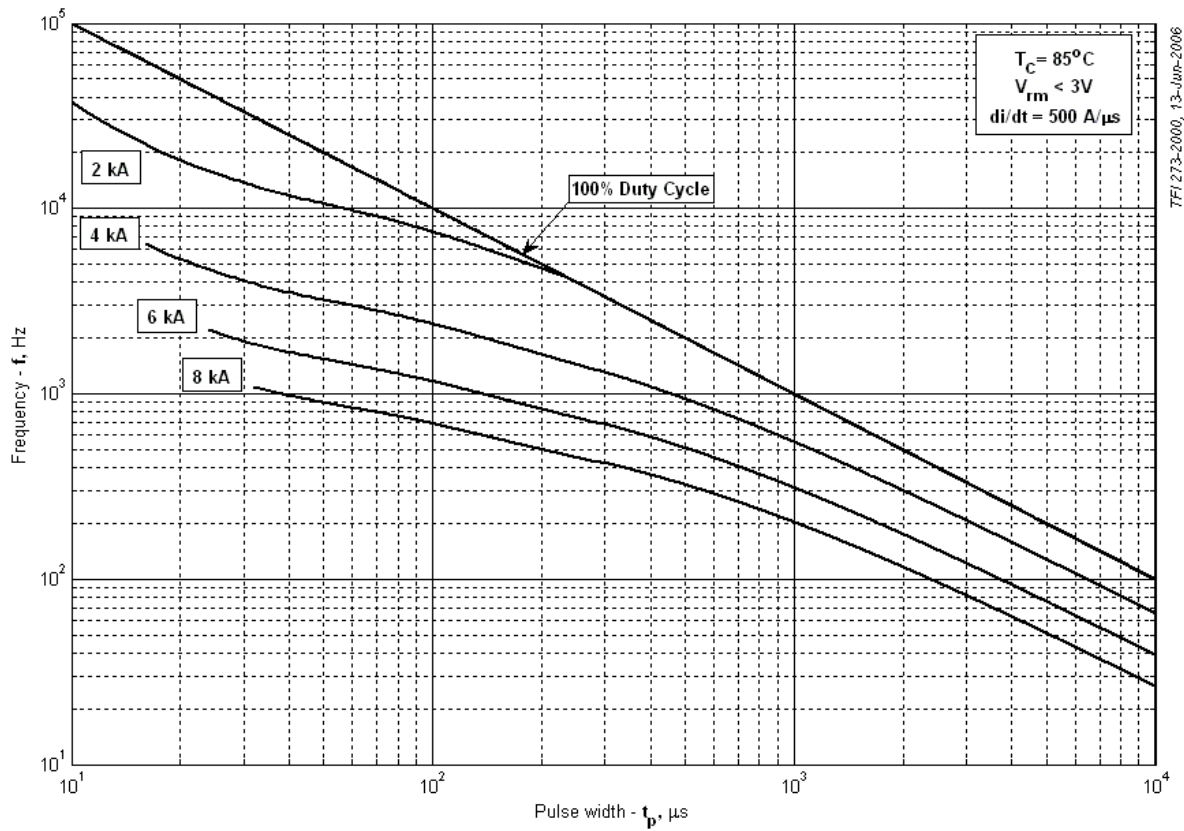
Рис. 16 – Зависимость частоты прямоугольных импульсов тока от длительности импульсов



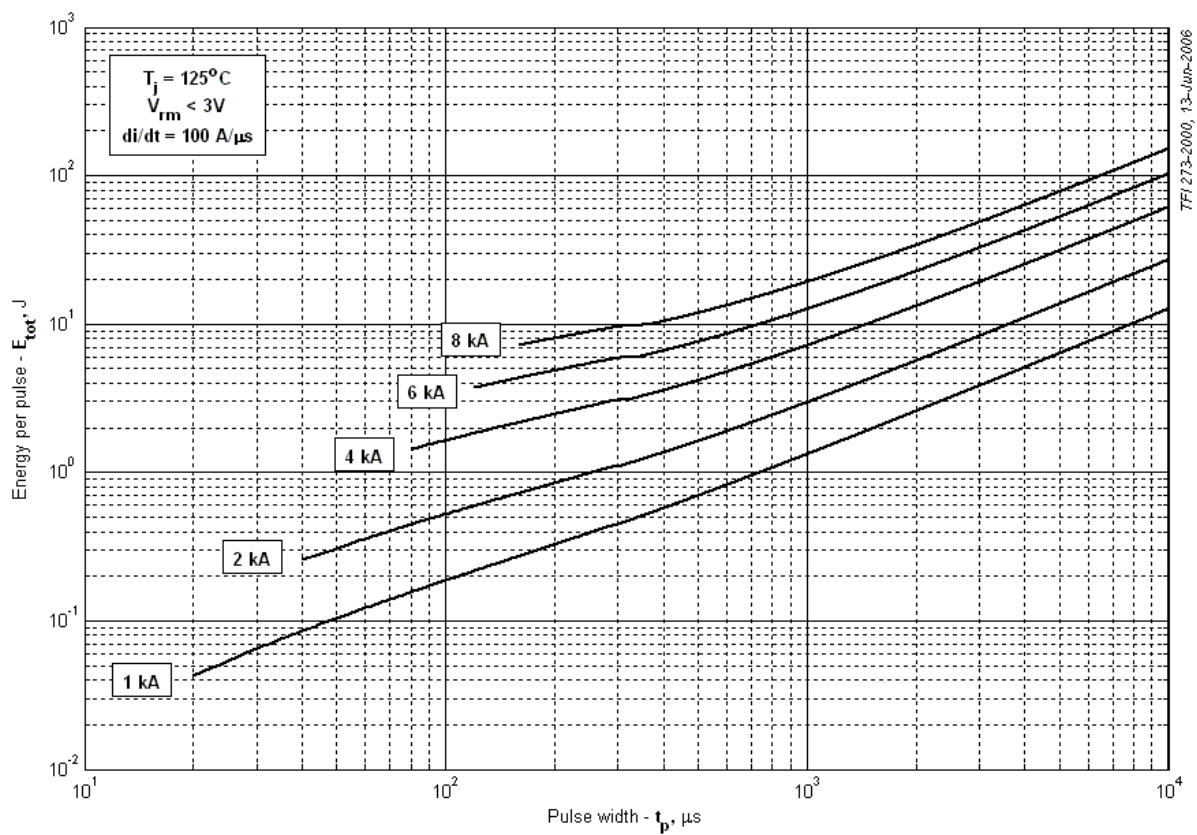
**Рис. 17– Зависимость частоты прямоугольных импульсов тока от длительности импульсов**



**Рис. 18 – Зависимость частоты прямоугольных импульсов тока от длительности импульсов**



**Рис. 19 – Зависимость частоты прямоугольных импульсов тока от длительности импульсов**



**Рис. 20 – Суммарная энергия потерь одного прямоугольного импульса тока**

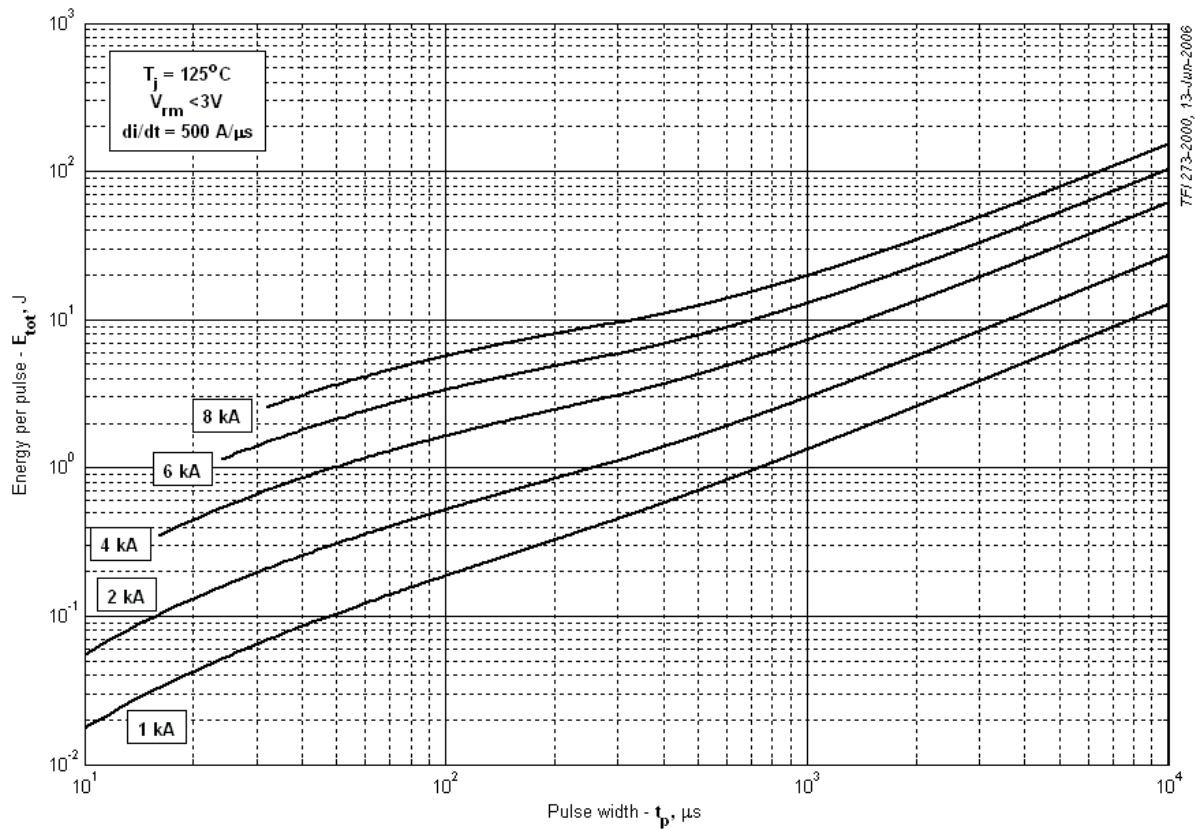


Рис. 21 – Суммарная энергия потерь одного прямоугольного импульса тока

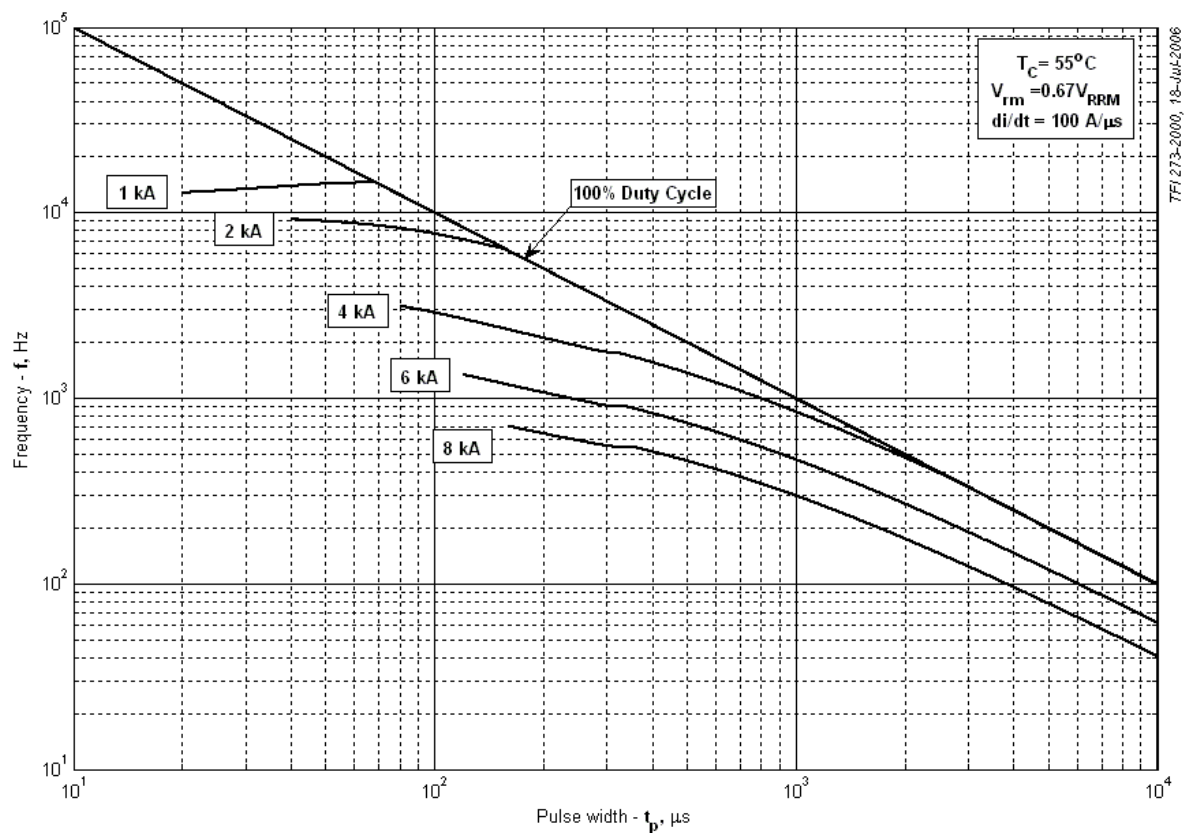
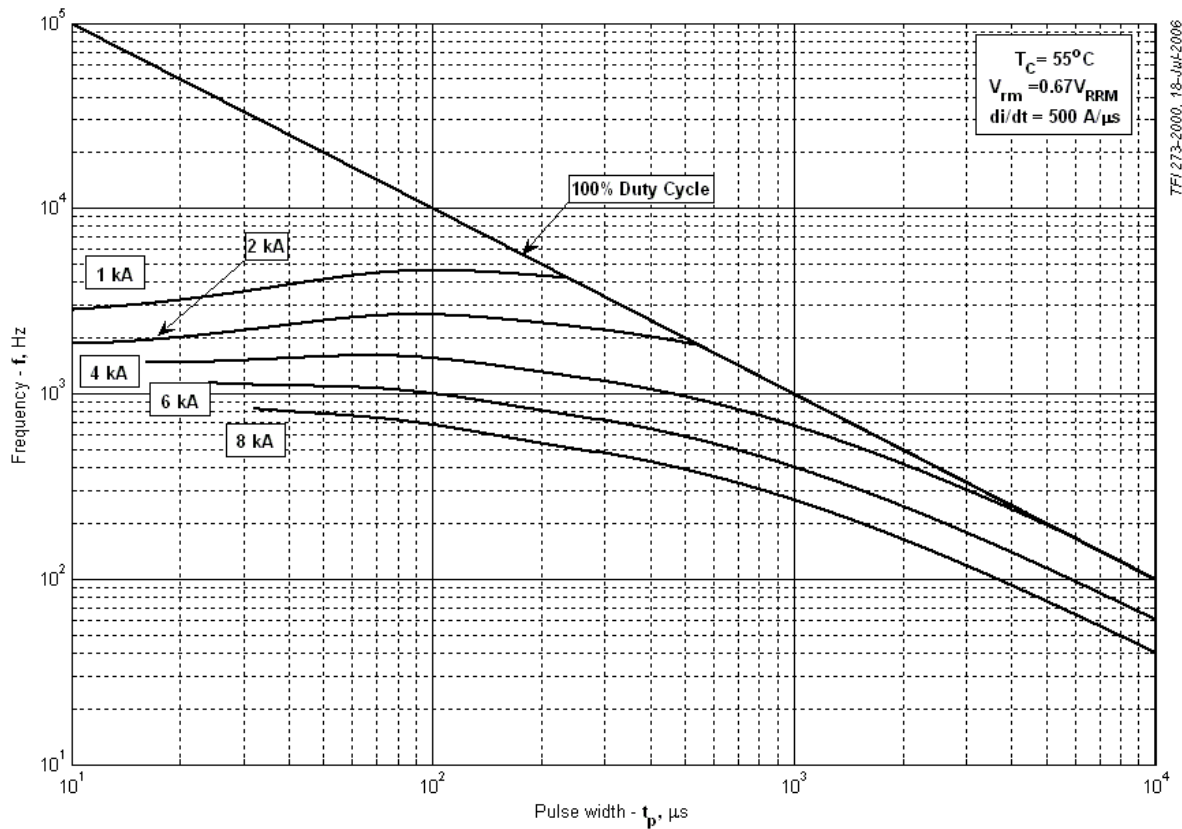
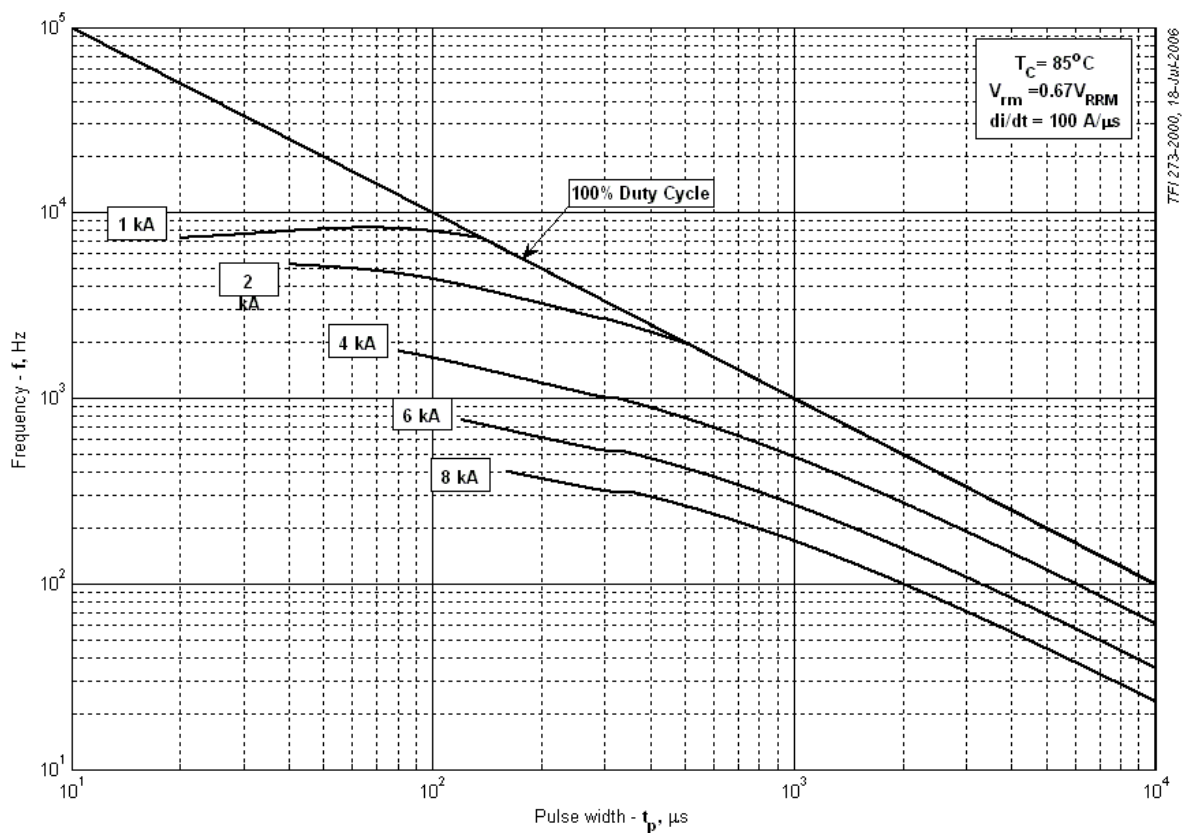


Рис. 22 – Зависимость частоты прямоугольных импульсов тока от длительности импульсов



**Рис. 23 – Зависимость частоты прямоугольных импульсов тока от длительности импульсов**



**Рис. 24 – Зависимость частоты прямоугольных импульсов тока от длительности импульсов**

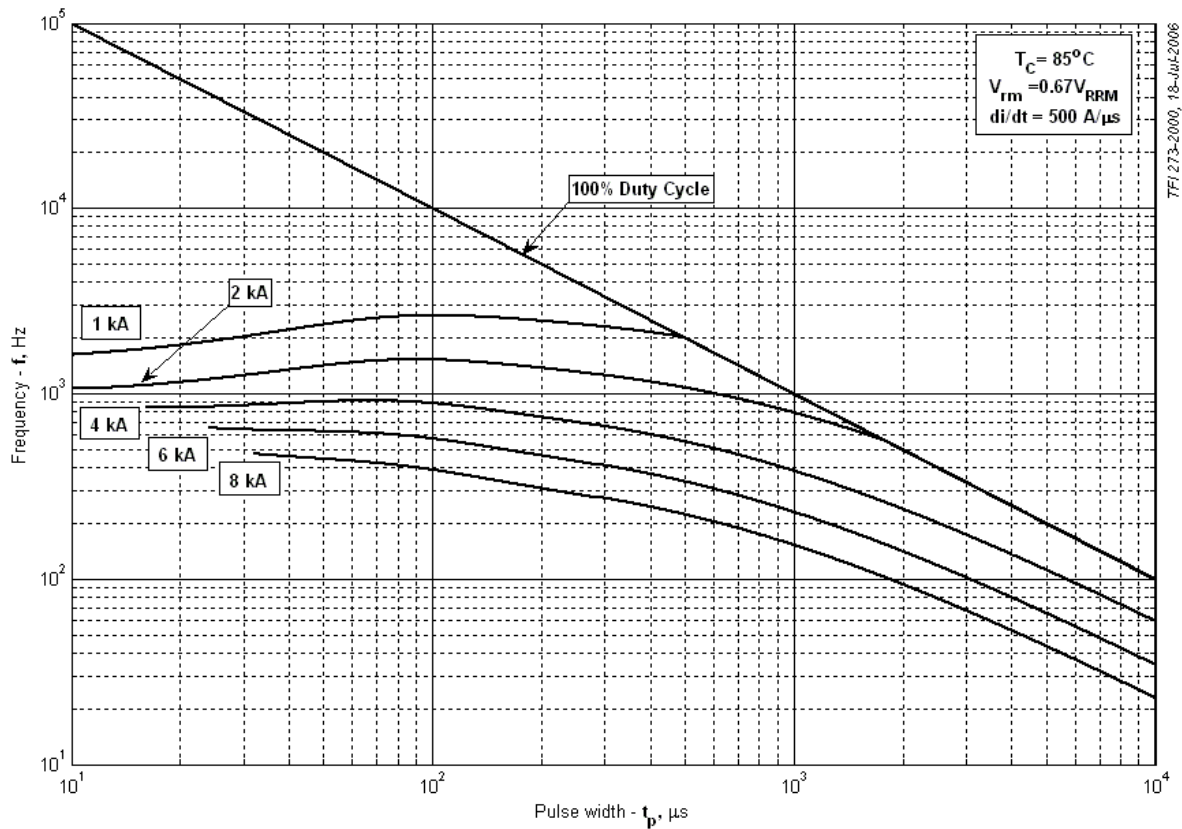


Рис. 25 – Зависимость частоты прямоугольных импульсов тока от длительности импульсов

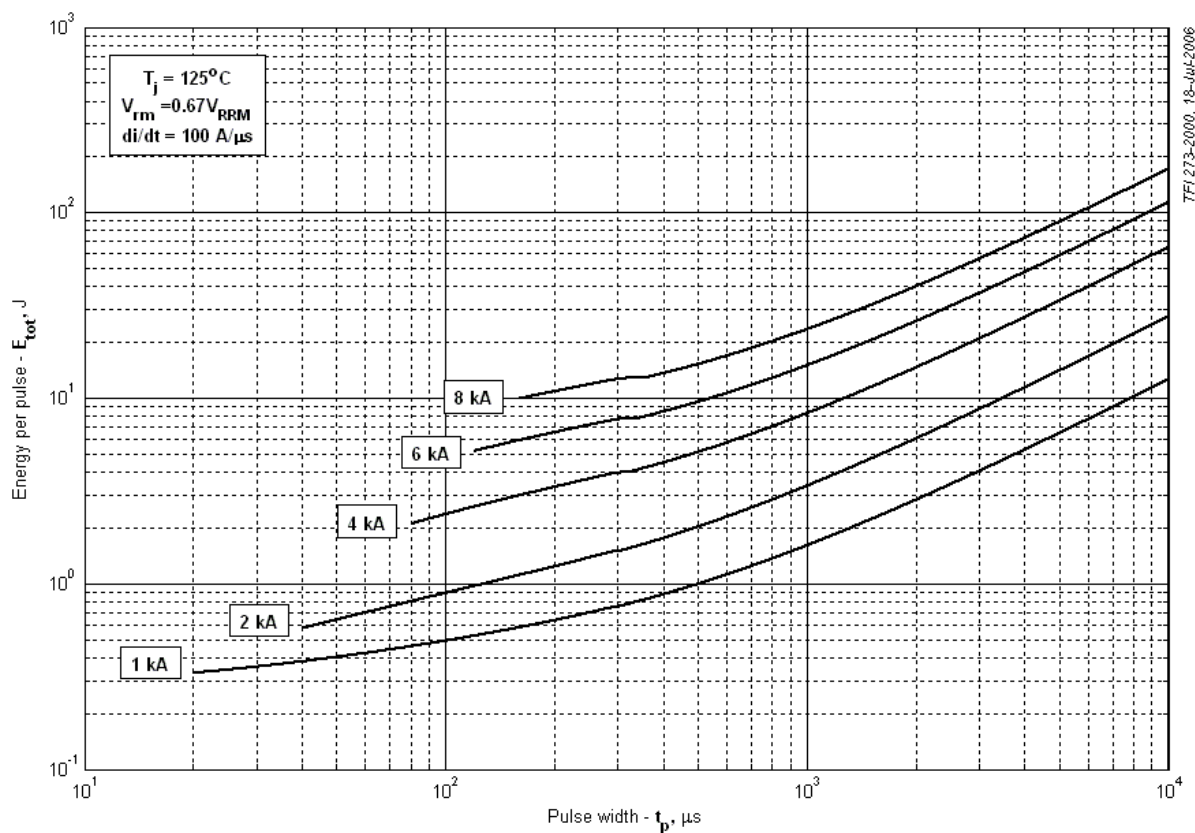


Рис. 26 – Суммарная энергия потерь одного прямоугольного импульса тока

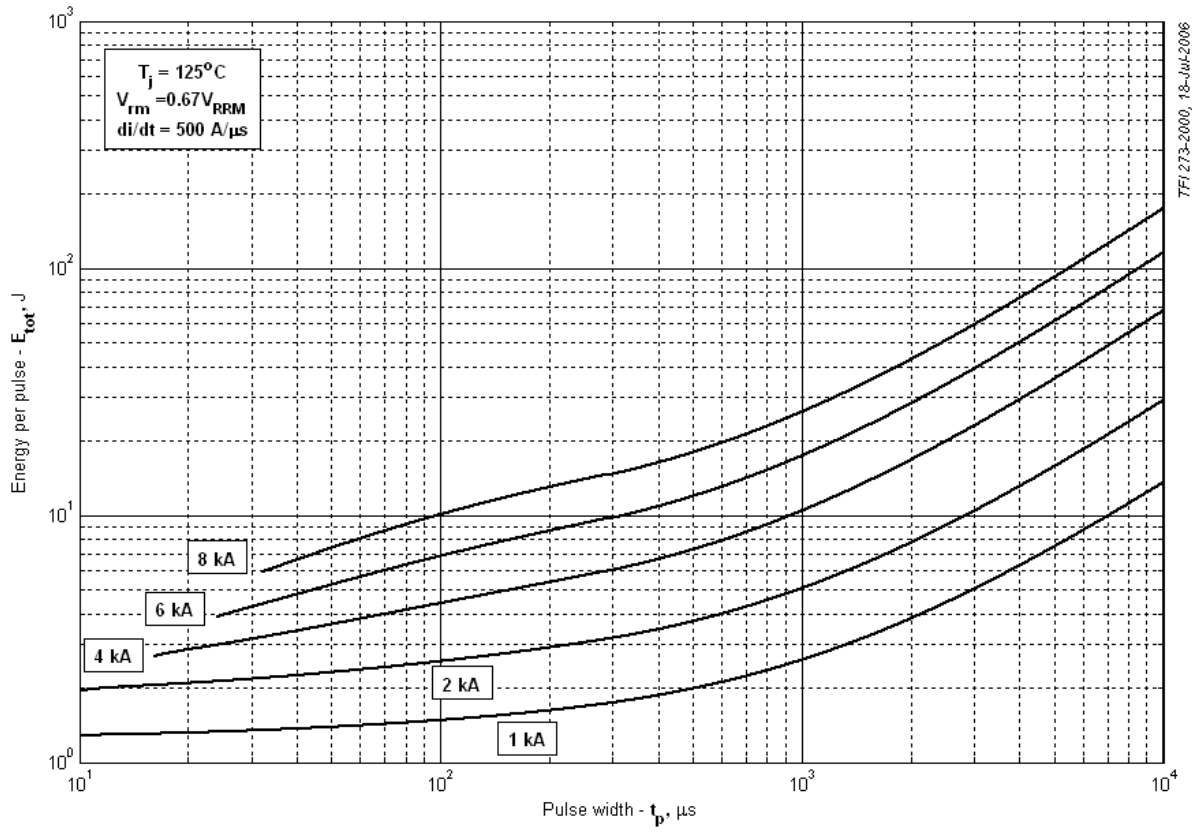


Рис. 27 – Суммарная энергия потерь одного прямоугольного импульса тока

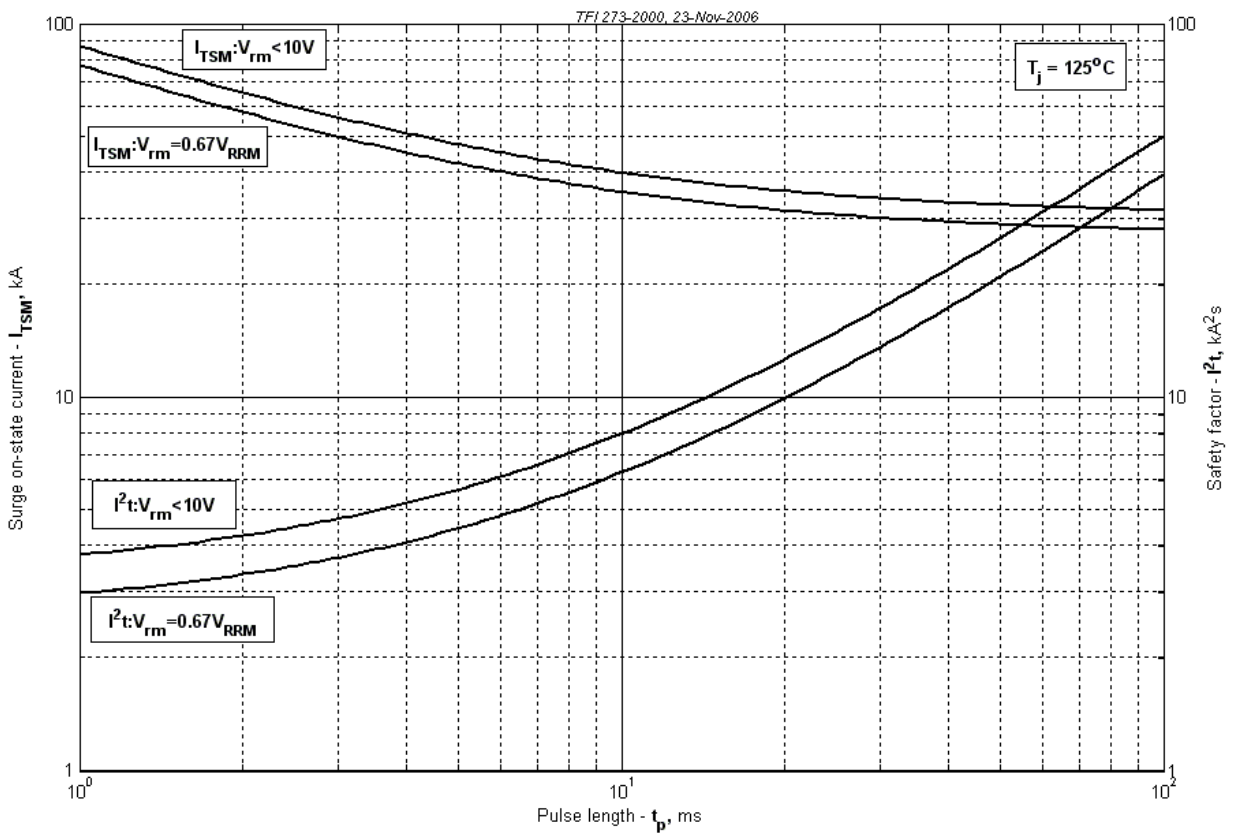
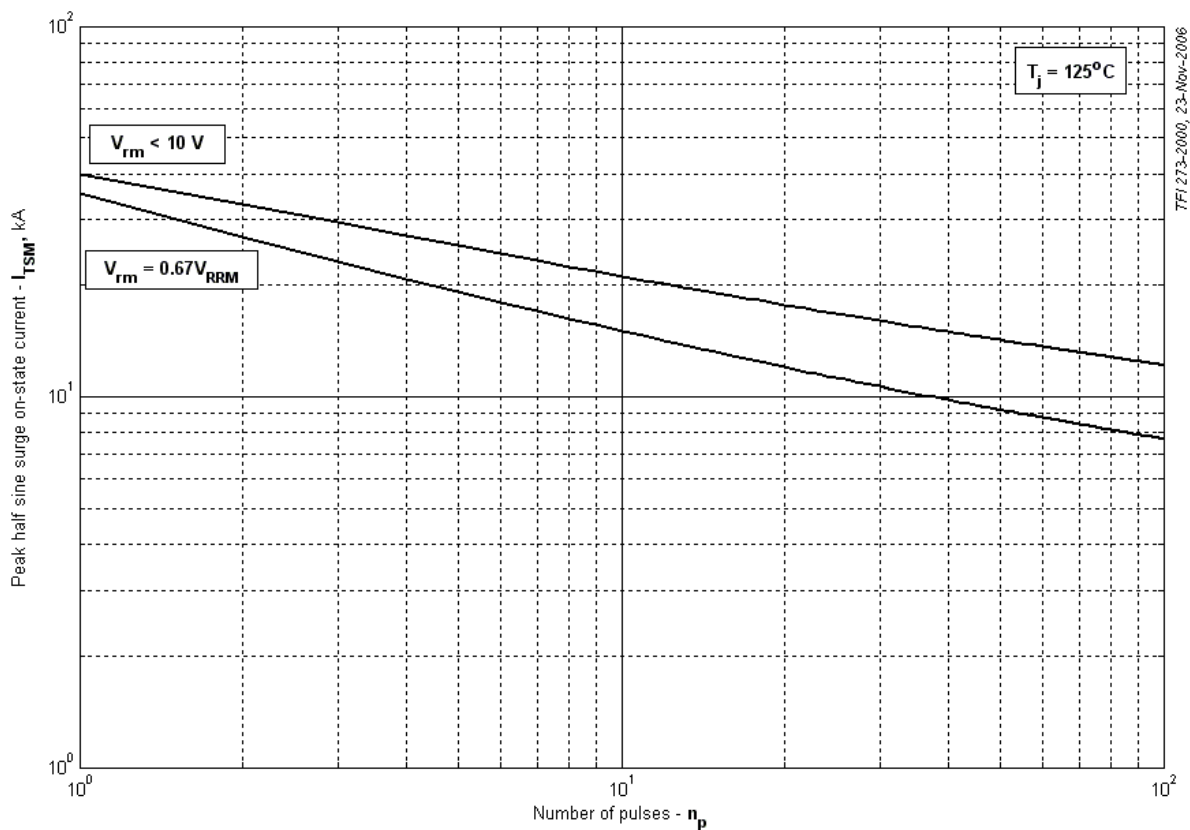
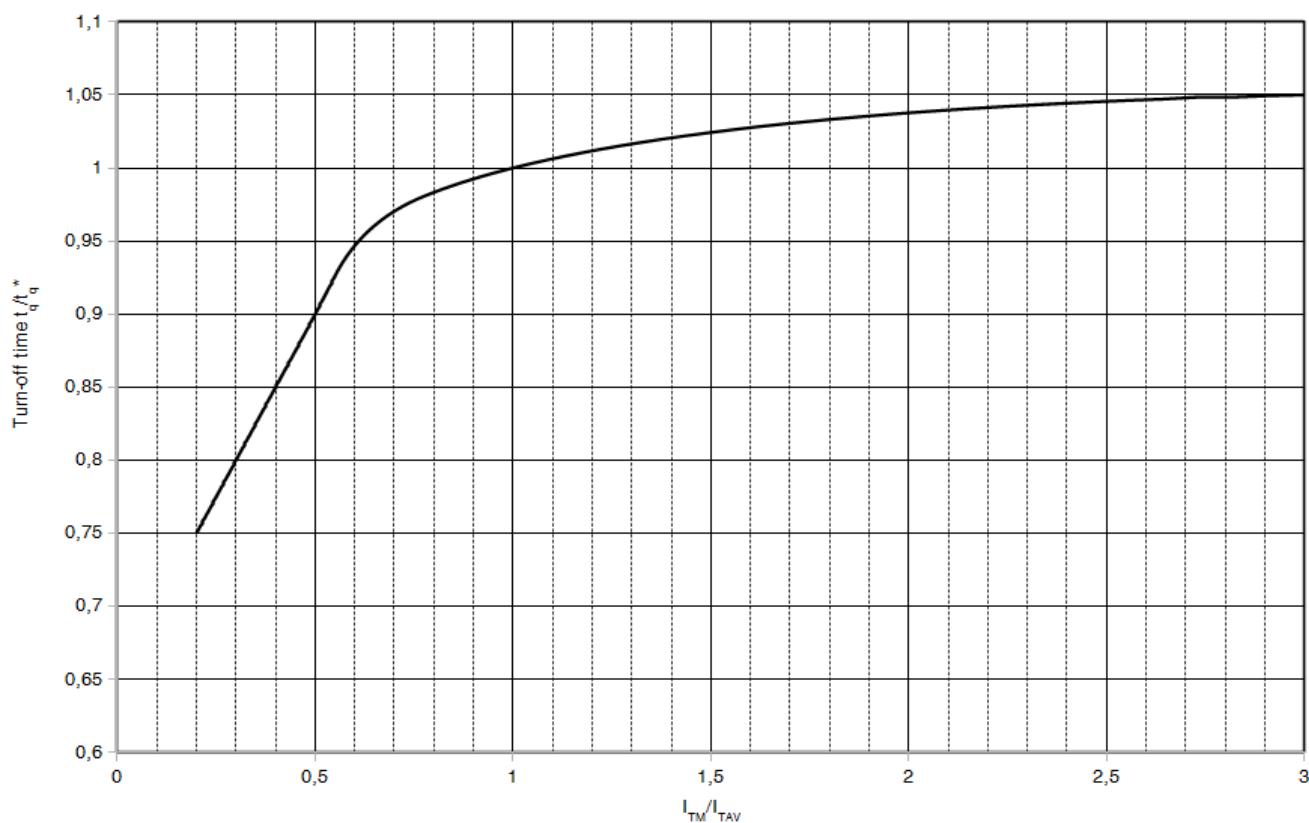


Рис. 28 – Максимальные ударные и  $I^2t$  характеристики



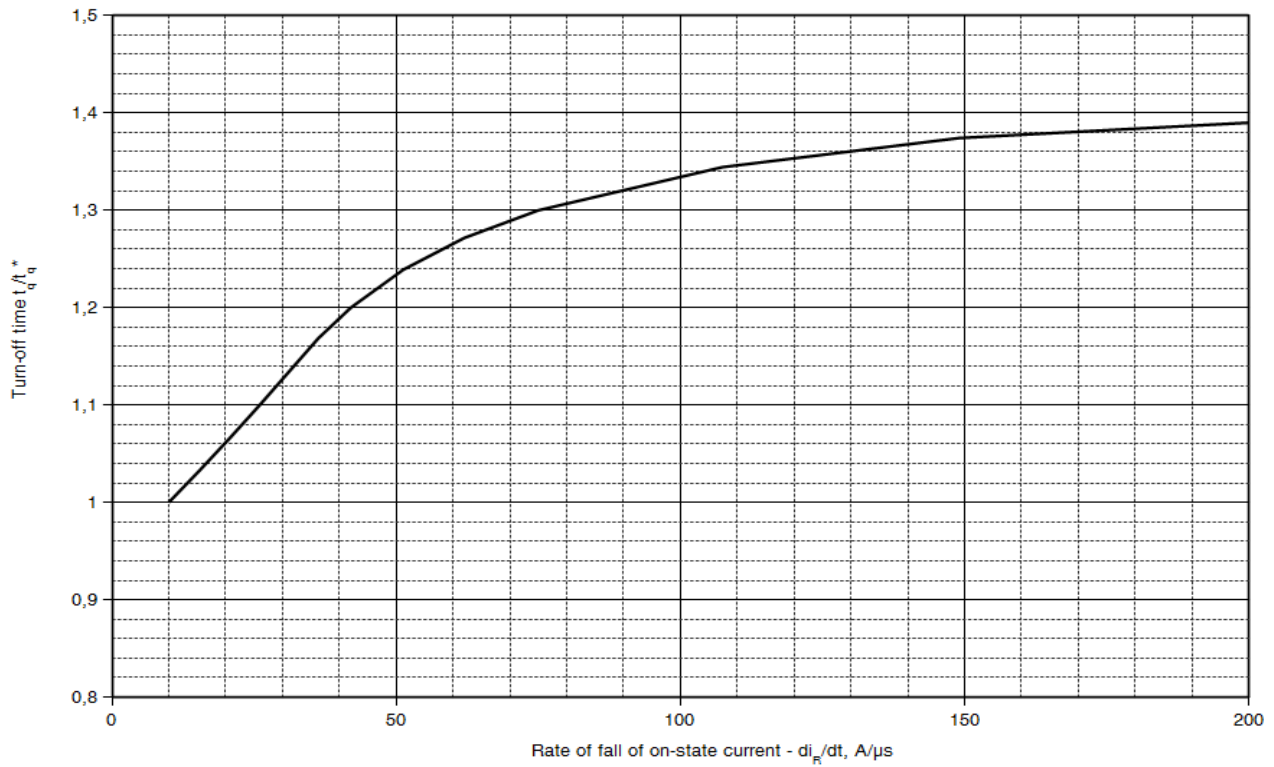
**Рис. 29 – Зависимость допустимой амплитуды ударного тока от числа импульсов**



**Рис. 31 Зависимость времени выключения от амплитуды тока в открытом состоянии**

Условия:  $T_j = T_{j\max}$ ;  $I_{TM} = I_{TAV}$ ;  $U_R = 100\text{ В}$ ;  $du_D/dt = 50\text{ В/мкс}$ ;  $U_D = 0.67 \cdot U_{DRM}$

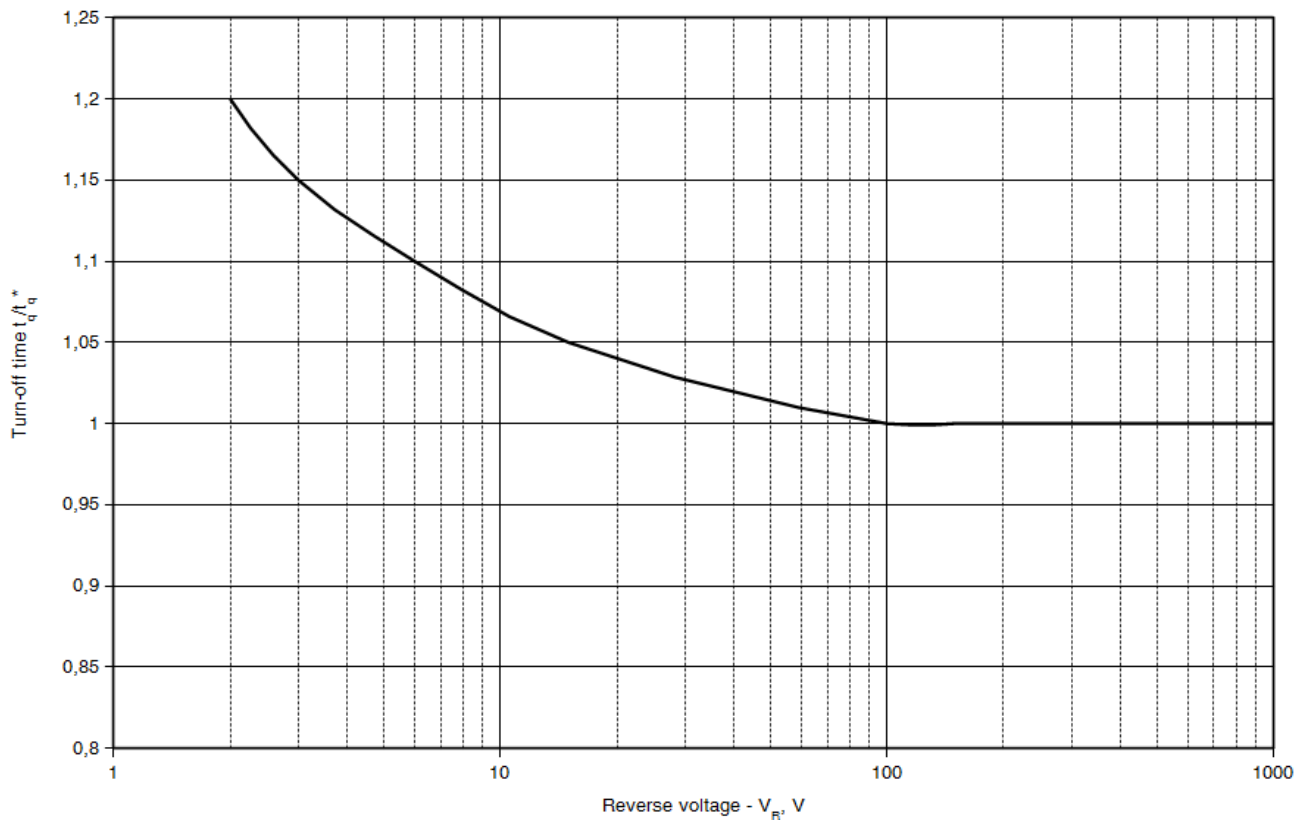
Типичные изменения  $t_q$  нормализуются  $t_q^*$  ( $t_q^*$  – см. информационные материалы,  $du_D/dt = 50\text{ В/мкс}$ )



**Рис. 32 Зависимость времени выключения от скорости спада тока в открытом состоянии**

Условия:  $T_j = T_{j\max}$ ;  $I_{TM} = I_{TAV}$ ;  $U_R = 100$  В;  $du_D/dt = 50$  В/мкс;  $U_D = 0.67 \cdot U_{DRM}$

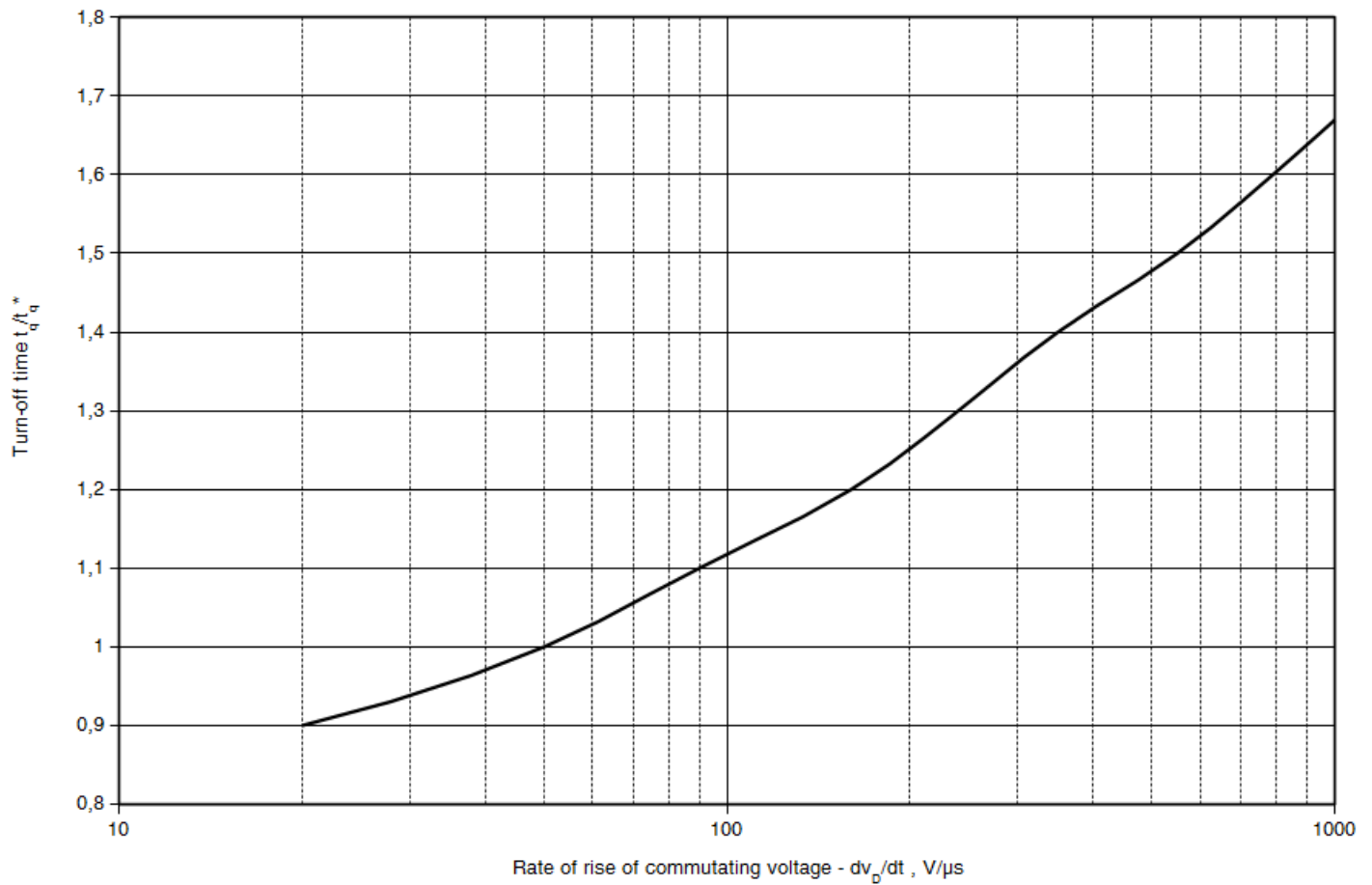
Типичные изменения  $t_q$  нормализуются  $t_q^*$  ( $t_q^*$  – см. информационные материалы,  $du_D/dt = 50$  В/мкс)



**Рис. 33 Зависимость времени выключения от обратного напряжения**

Условия:  $T_j = T_{j\max}$ ;  $I_{TM} = I_{TAV}$ ;  $U_R = 100$  В;  $du_D/dt = 50$  В/мкс;  $U_D = 0.67 \cdot U_{DRM}$

Типичные изменения  $t_q$  нормализуются  $t_q^*$  ( $t_q^*$  – см. информационные материалы,  $du_D/dt = 50$  В/мкс)



**Рис. 34 Зависимость времени выключения от скорости нарастания напряжения в закрытом состоянии**

Условия:  $T_j = T_{j\max}$ ;  $I_{TM} = I_{TAV}$ ;  $U_R = 100$  В;  $du_D/dt = 50$  В/мкс;  $U_D = 0.67 \cdot U_{DRM}$

Типичные изменения  $t_q$  нормализуются  $t_q^*$  ( $t_q^*$  – см. информационные материалы,  $du_D/dt = 50$  В/мкс)